

ZÁKLADY APLIKOVANEJ MAGNETOMETRIE



Pašteka Roman a kol.

Katedra inžinierskej geológie, hydrogeológie a aplikovanej geofyziky,

Prírodovedecká fakulta UK v Bratislave

(použité aj materiály Ústavu vied o Zemi SAV a spoločnosti G-trend s.r.o.)

roman.pasteka@uniba.sk

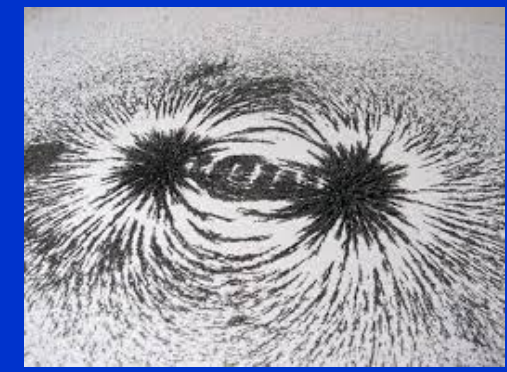
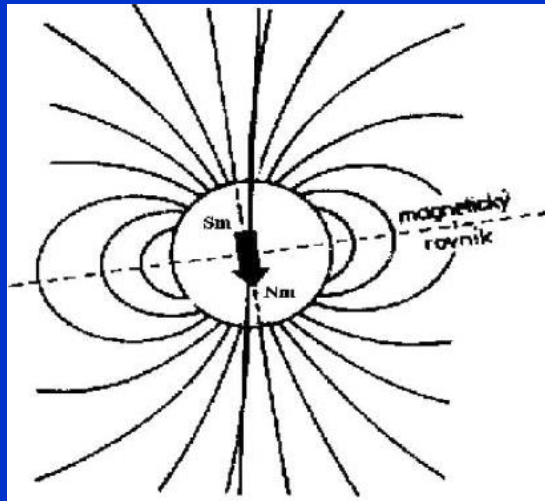
ZÁKLADY APLIKOVANEJ MAGNETOMETRIE

Obsah prednášky:

- základné pojmy
- magnetické pole Zeme a jeho zložky
- meranie magnetickej indukcie (prístroje)
- magnetická susceptibilita (minerálov a hornín)
- spracovanie meraní (mapy anomálneho magn. poľa ΔT)
- interpretácia
- príklady využitia magnetometrie

MAGNETOMETRIA

Meranie, vyhodnocovanie a interpretácia anomálneho magnetického pola Zeme



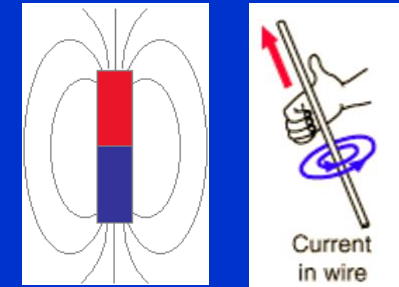
Wiliam Gilbert – v knihe „De Magnete“ v roku 1600 opisuje Zem ako veľký permanentný magnet

základné pojmy – magnetické pole

Magnetické pole sa nachádza v okolí:

- permanentného magnetu,
- vodiča, cez ktorý tečie elektrický prúd.

Prejavuje sa pôsobením na železné predmety a ďalšími elektromagnetickými javmi.

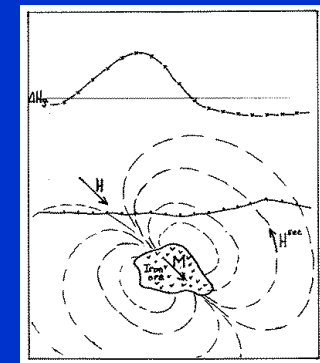


Popisujeme ho 2 dôležitými vektorovými veličinami:

magnetická intenzita **H** (primárne pole), [$A \cdot m^{-1}$]

magnetická indukcia **B** (vyvolané pole), [T], používané [nT]

medzi nimi platí dôležitý vzťah: $\mathbf{B} = \mu \mathbf{H}$



kde μ – magnetická permeabilita, ktorá udáva mieru magnetizácie látky v dôsledku pôsobenia magn. poľa, jednotka [$H \cdot m^{-1} = N \cdot A^{-2}$].

Používame aj tzv. relatívnu magnetickú permeabilitu (bezrozmerné číslo):

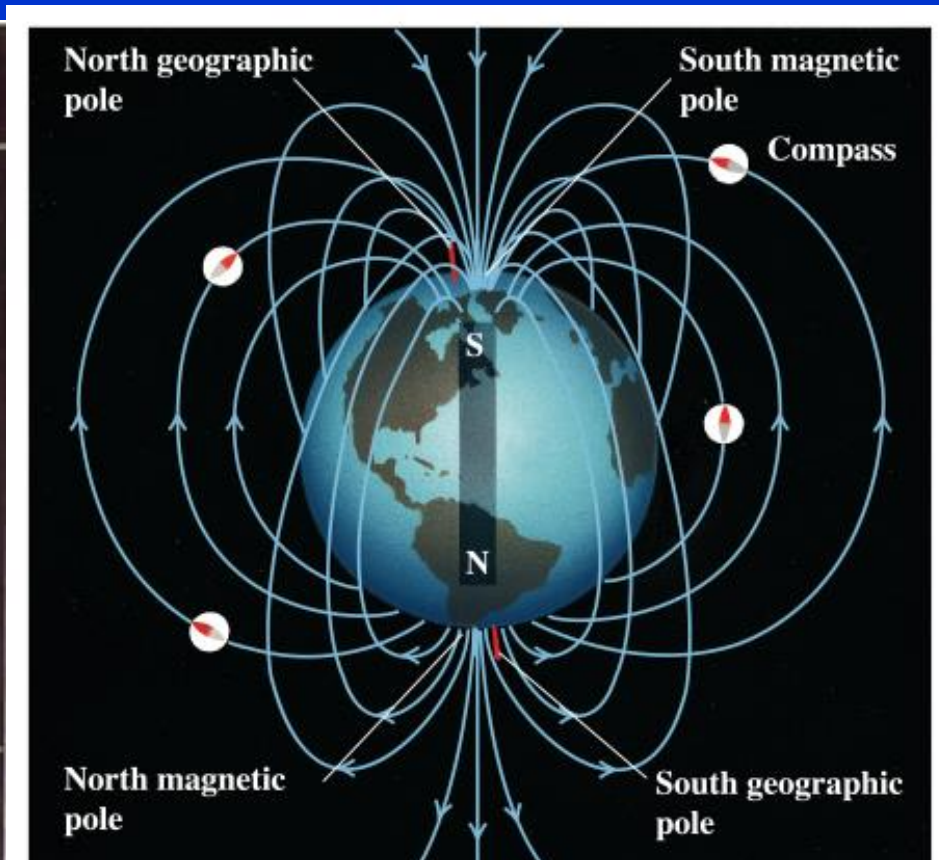
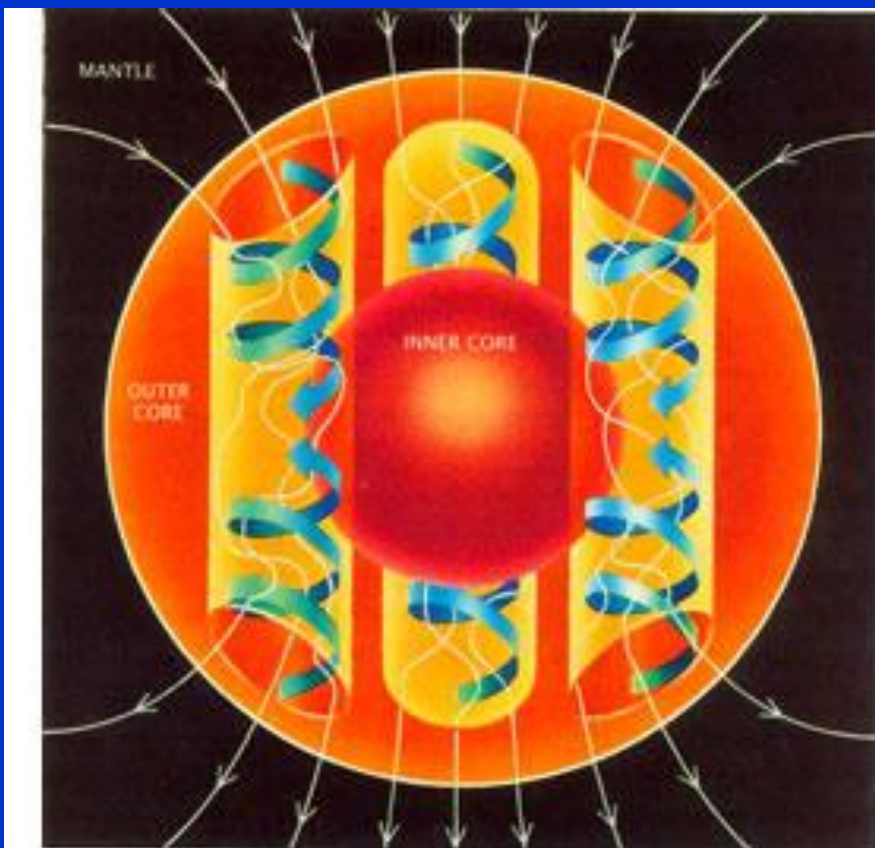
$$\mu_r = \mu / \mu_0 \Rightarrow \mu = \mu_r \cdot \mu_0$$

μ_0 – permeabilita vákua ($4\pi \cdot 10^{-7} H \cdot m^{-1}$)

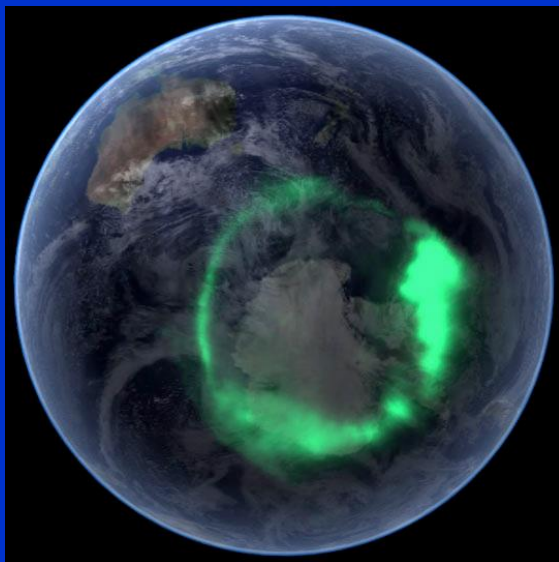
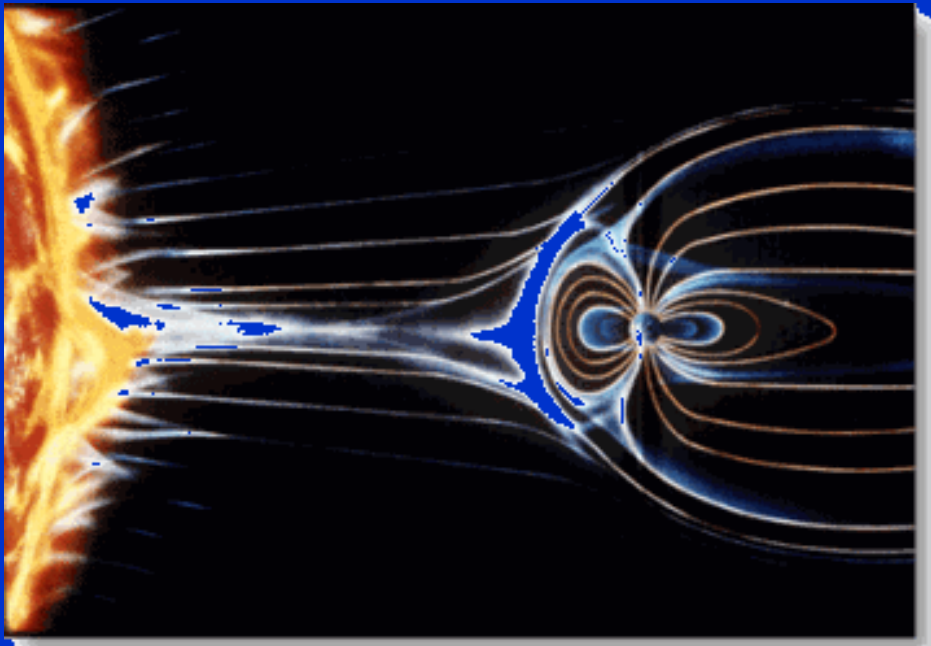
základné pojmy – magnetické pole Zeme

Vznik geomagnetického poľa:

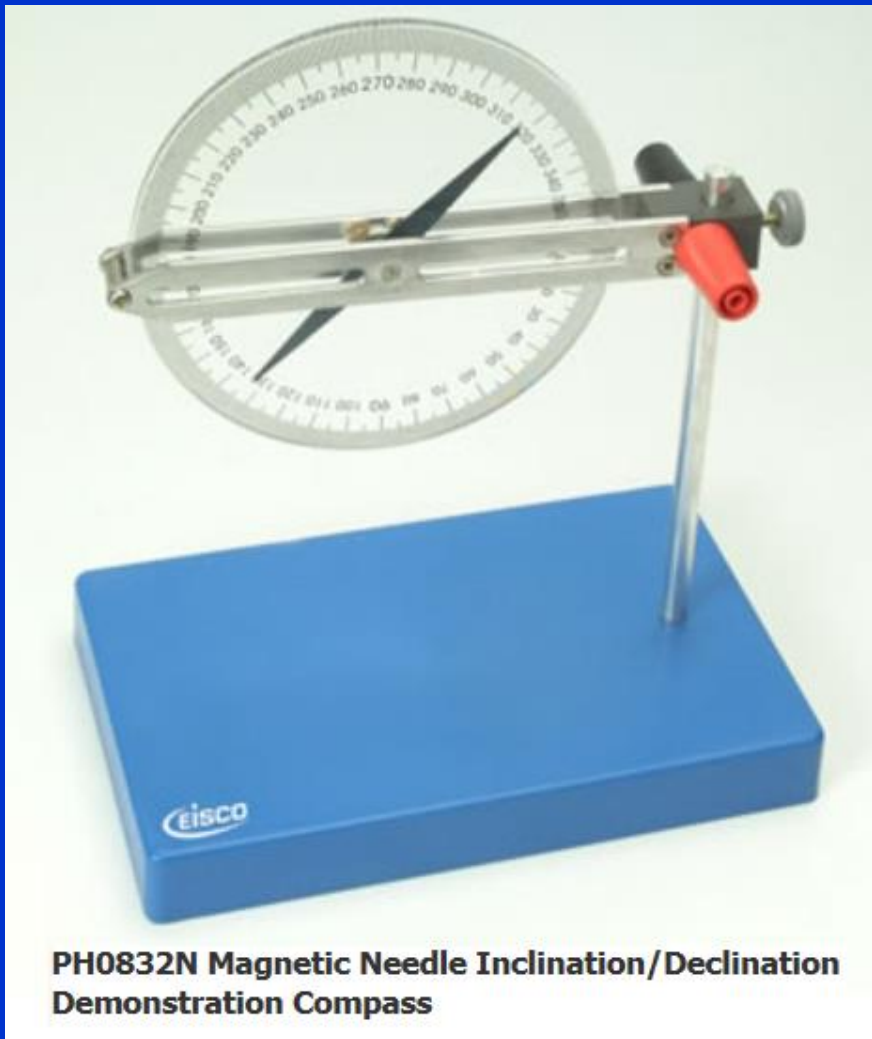
Základom jeho generovania je pohyb vodivých hmôt (elektricky nabitych častíc) vo vonkajšom jadre – tzv. hydromagneto dynamické javy.



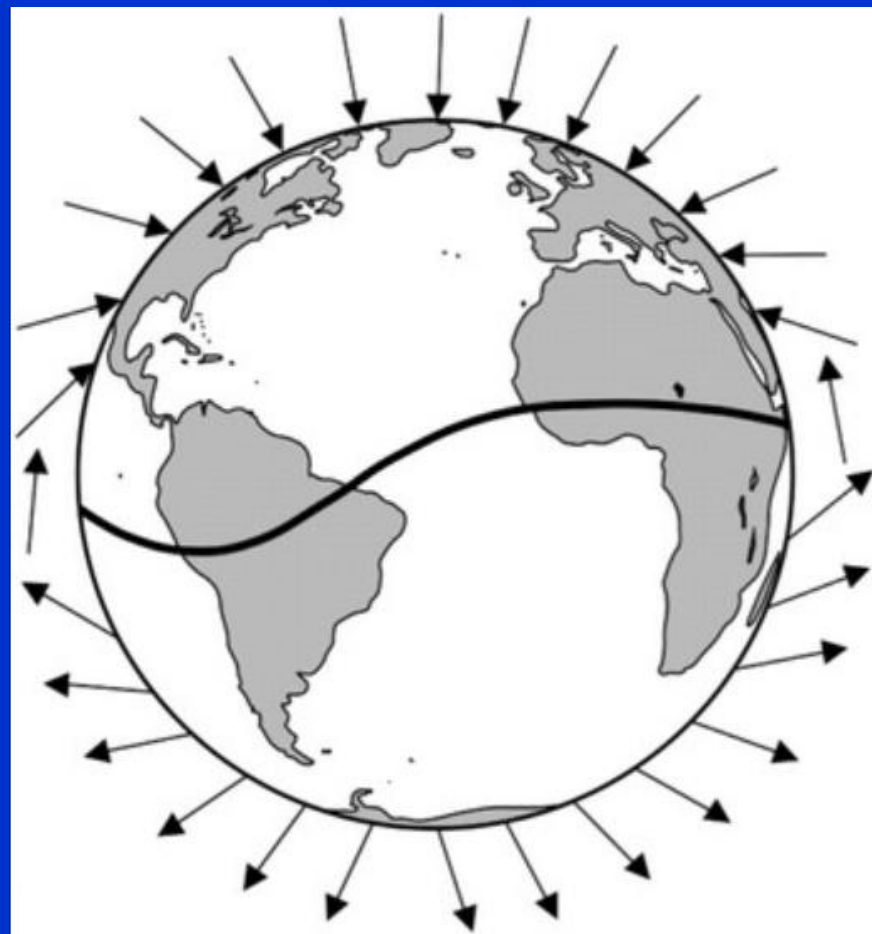
základné pojmy – magnetické pole Zeme



základné pojmy – magnetické pole Zeme

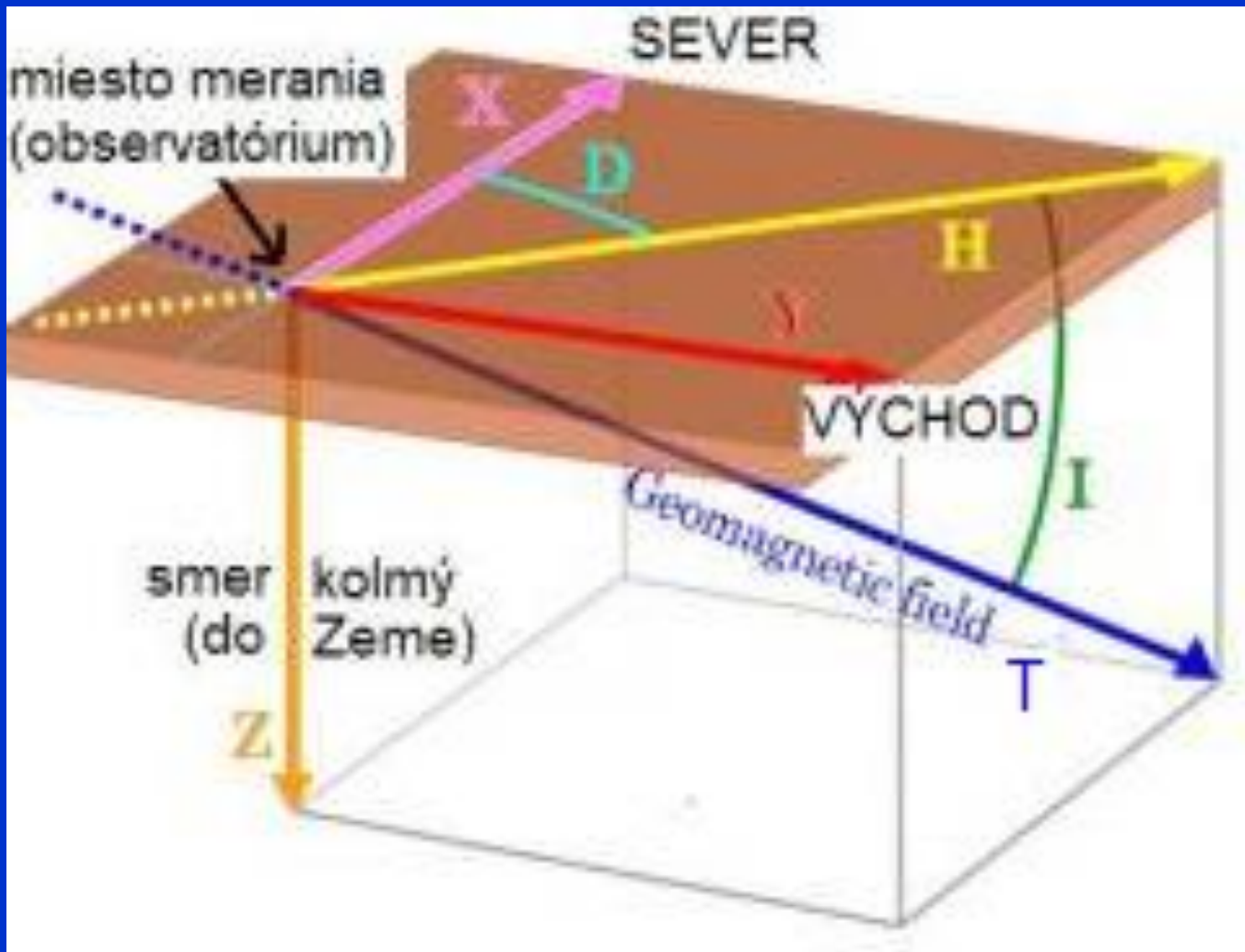


PH0832N Magnetic Needle Inclination/Declination Demonstration Compass



S týmito parametrami geomagn. poľa súvisí aj tvar a amplitúda magn. anomálií na rôznych miestach na zemskom povrchu.

základné pojmy – magnetické pole Zeme



Rozklad vektora totálnej magnetickej indukcie (T) na zložky H , X , Y a Z . Dôležité sú tiež uhly I (inklinácia) a D (deklinácia).

základné pojmy – magnetické pole Zeme

Približná veľkosť elementov ZMP v μT			
	Póly	Rovník	SR
H	0	30-40	20
Z	60-70	0	44
T	60-70	30-40	49
I	$\pm 90^\circ$	0°	65°
D	neurč.	$+10^\circ$ až -20°	0°

$$= 20000 \text{ nT}$$

$$= 44000 \text{ nT}$$

$$= 49000 \text{ nT}$$

Existujú tzv. kalkulačky parametrov geomagn. poľa, napr:
<https://www.ngdc.noaa.gov/geomag-web/>



NOAA > NESDIS > NCEI (formerly NGDC) > Geomagnetism

Magnetic Field Calculators

Declination

U.S. Historic Declination

Magnetic Field

Magnetic Field Component Grid

Magnetic Field Estimated Values i

Magnetic field is calculated using the most recent [World Magnetic Model \(WMM\)](#) or the [International Geomagnetic Reference Field \(IGRF\)](#) model. For 1590 to 1900 the calculator is based on the [gufm1](#) model. A smooth transition from gufm1 to IGRF was imposed from 1890 to 1900. The calculator provides an easy way for you to get results in HTML, XML, or CSV programmatically (API). For more information click the information button above.

Calculate Magnetic Field

Latitude: S N
Longitude: W E
Elevation: GPS Mean sea level
 Kilometers

Model: WMM (2014-2019) IGRF (1590-2019)

Start Date: Year Month Day

End Date: Year Month Day

Step size:

Lookup Latitude / Longitude

Either enter a zip code, select a country/city, or [search for an address at USGS Earth Explorer](#).

U.S. Zip Code:
- OR -
Country:
City:



NOAA > NESDIS > NCEI (formerly NGDC) > Geomagnetism

Magnetic Field Calculators

Declination

U.S. Historic Declination

Magnetic Field

Magnetic Field Component Grid

Magnetic Field Estimated Values i

Magnetic field is calculated using the most recent [World Magnetic Model \(WMM\)](#) or the [International Geomagnetic Reference Field \(IGRF\)](#) model. For 1590 to 1900 the calculator is based on the [gufm1](#) model. A smooth transition from gufm1 to IGRF was imposed from 1890 to 1900. The calculator provides an easy way for you to get results in HTML, XML, or CSV programmatically (API). For more information click the information button above.

[Calculate Magnetic Field](#)

[Lookup Latitude / Longitude](#)

Magnetic Field

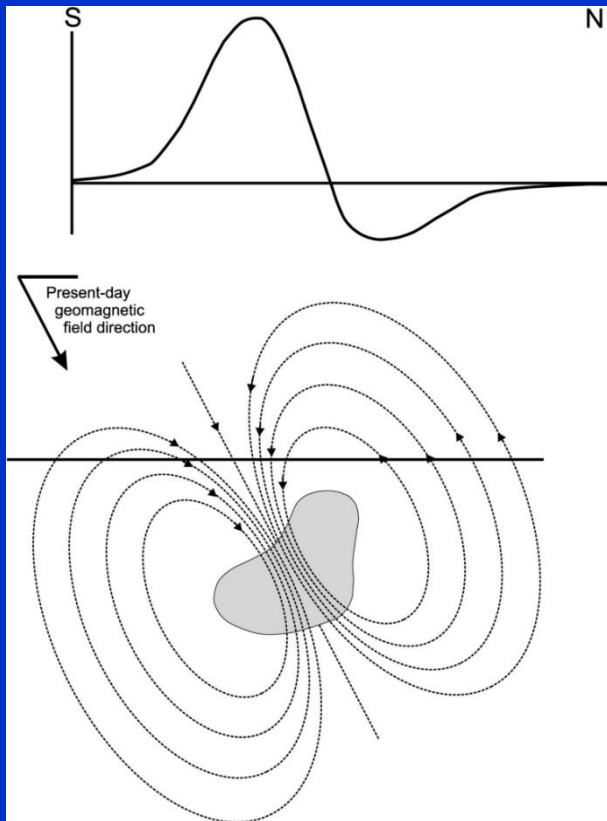
x

Model Used:	WMM2015						
Latitude:	48.72° N						
Longitude:	21.258° E						
Elevation:	0.0 km Mean Sea Level						
Date	Declination (+ E - W)	Inclination (+ D - U)	Horizontal Intensity	North Comp (+ N - S)	East Comp (+ E - W)	Vertical Comp (+ D - U)	Total Field
2017-12-05	5.3402°	65.3305°	20,528.2 nT	20,439.1 nT	1,910.5 nT	44,694.1 nT	49,183.0 nT
Change/year	0.1182°/yr	0.0105°/yr	5.4 nT/yr	1.4 nT/yr	42.7 nT/yr	33.3 nT/yr	32.5 nT/yr
Uncertainty	0.36°	0.22°	133 nT	138 nT	89 nT	165 nT	152 nT

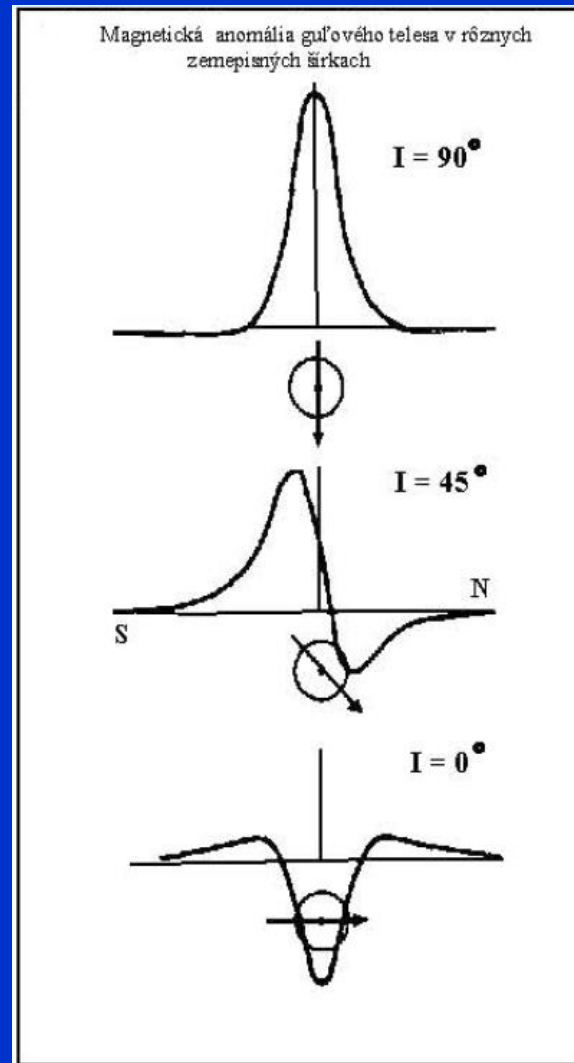
End Date: Year Month Day

Step size:

základné pojmy – magnetické pole Zeme



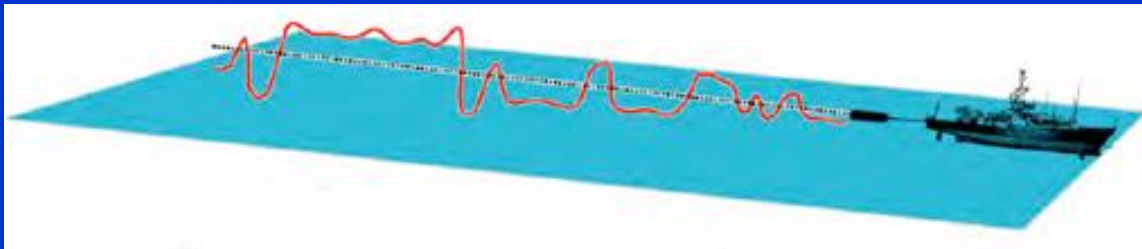
telesá s určitými petrofyzikálnymi vlastnosťami sa zmagnetizujú (niektoré sa potom stanú "magnetmi")



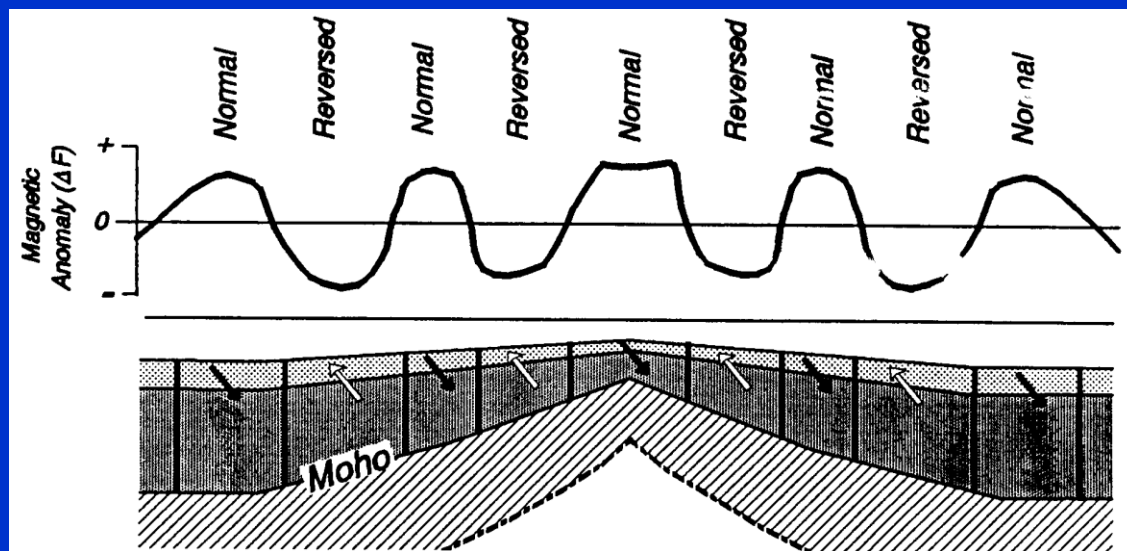
Pozn.: s parametrami indukujúceho magnetického poľa súvisí aj tvar a amplitúda magnetických anomalií.

základné pojmy – magnetické pole Zeme

V priebehu historických dôb došlo ku viacnásobnému prepólovaniu magnetických pólov.

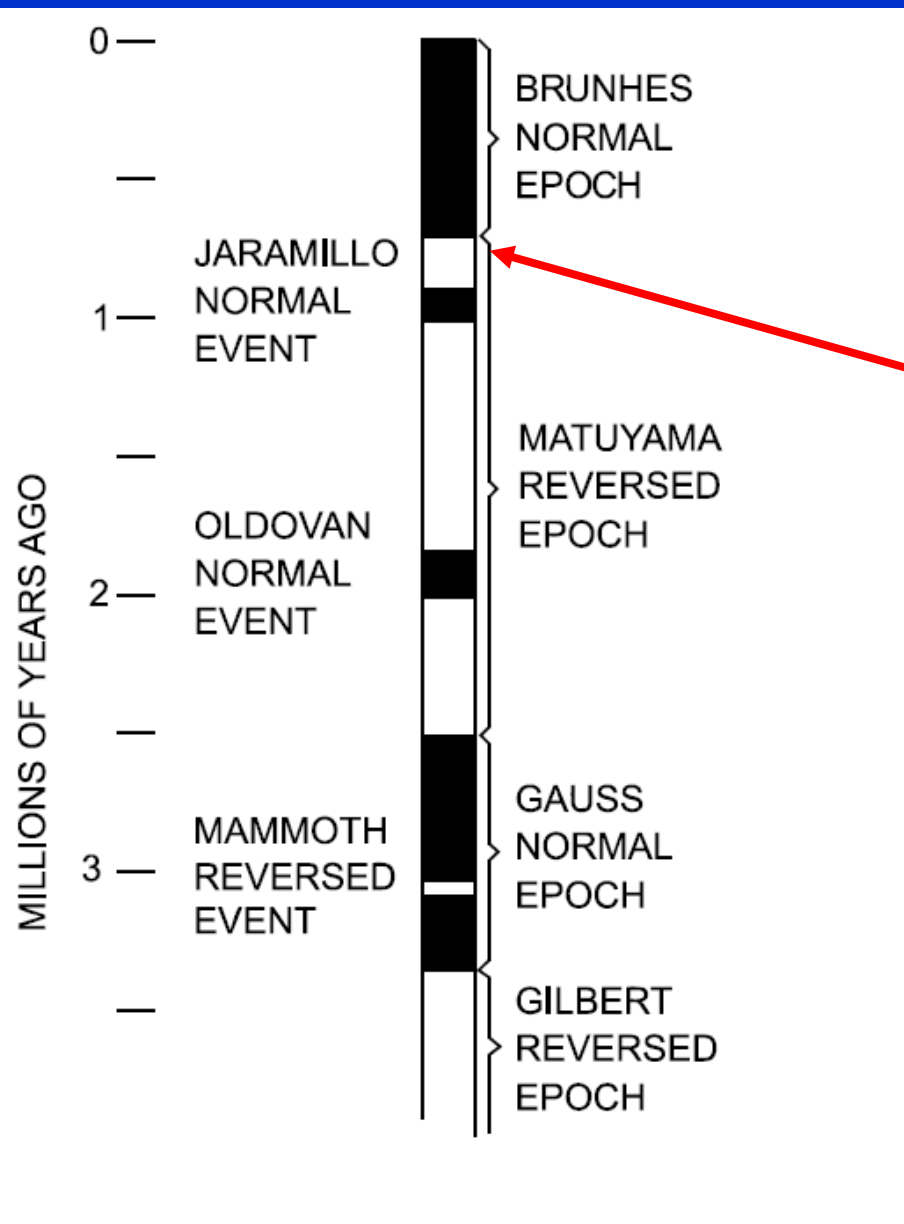


merania v priestore Atlantického oceánu
(Rald and Mason, 1961)



odvetvie geofyziky – paleomagnetizmus a archeomagnetizmus

základné pojmy – magnetické pole Zeme



- períoda prepólovania sa pohybuje v rozmedzí hodnôt rádovo tisíce rokov až milióny rokov – v priemere 250.000 rokov,
- v súčasnosti sa nachádzame v tzv. Brunhesovej normálnej epoche, ktorá začala pred cca 780.000 rokmi,

meranie v magnetometrii

**prístroje na meranie magnetickej
indukcie sa nazývajú magnetometre**



Ich rozmanitosť je omnoho väčšia, ako je tomu v gravimetrii.

prístroje v magnetometrii

Prístroje v magnetometrii sa nazývajú **magnetometre**.

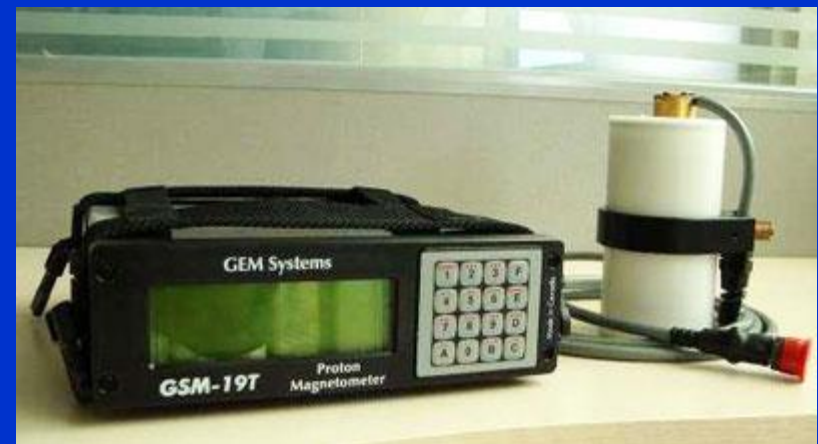
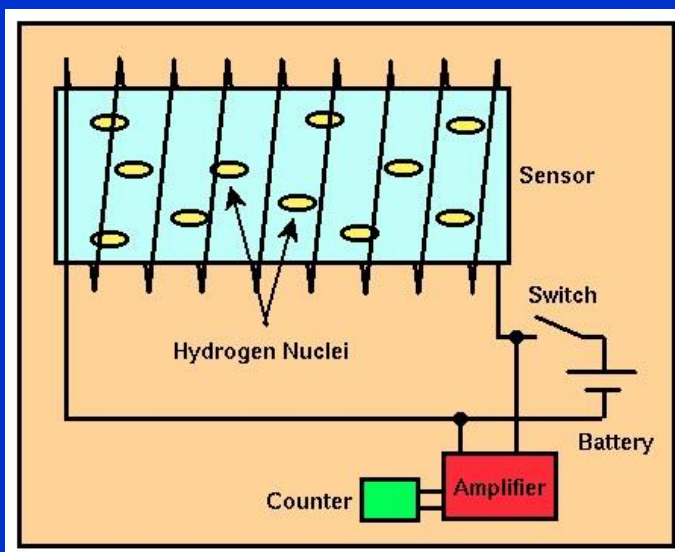
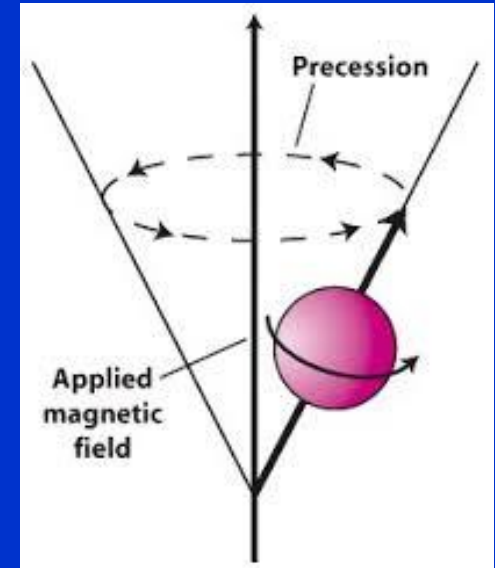
Existujú rôzne rozdelenia:

- skalárne (merajú veľkosť \mathbf{T}), vektorové (trojzložkové),
- meranie na jednej úrovni alebo rozdielu \mathbf{T} na dvoch úrovniciach (tzv. gradientové magnetometre),
- spôsob merania – “stop and go” alebo “walking mode” (samostatná kategória sú letecké magnetometre),
- rôzne fyzikálne princípy:

prístroje v magnetometrii

Protónový magnetometer:

Založený na štúdiu precesie protónov vo vonkajšom magnetickom poli.
(ako medium sa používa kvapalina bohatá na vodíkové atómy - voda, alkohol).



prístroje v magnetometrii

Protónový magnetometer:

Merací čas sú rádovo sekundy,
príp. zlomky sekundy
(patrí medzi pomalšie prístroje).

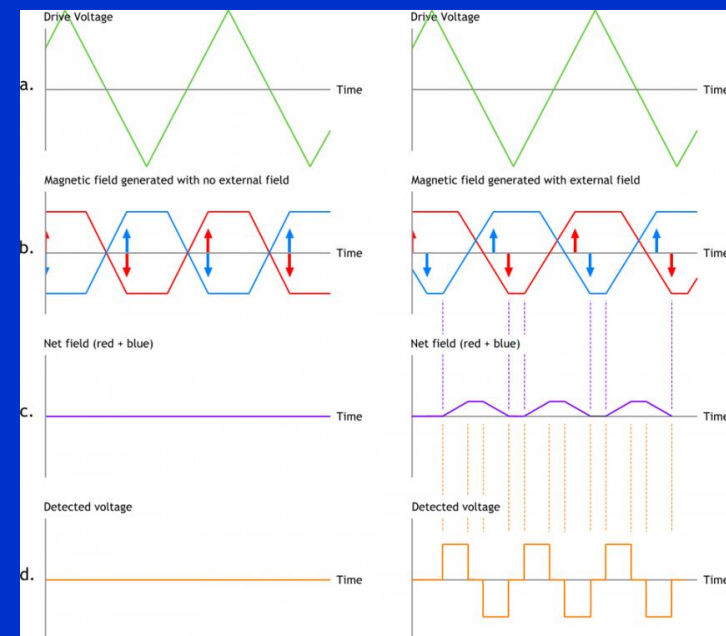
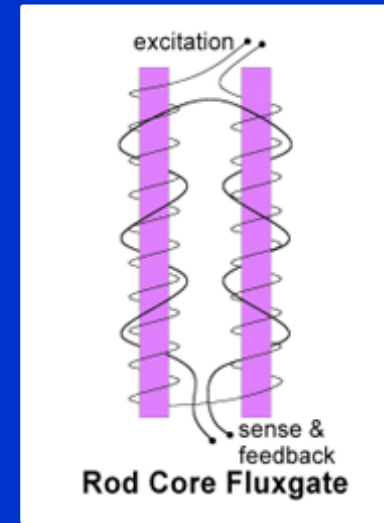
Vnútorná presnosť je na úrovni
0.1 nT, vonkajšia niekoľko nT.
Využíva sa najmä pri geologických
aplikáciách.



prístroje v magnetometrii

Magnetometer s ferosondou (flux-gate):

Založený na indukčnom princípe v permaloyovom jadre, ktorý je ovplyvňovaný vonkajším magnetickým poľom.



prístroje v magnetometrii

Magnetometer s ferosondou (flux-gate):



Často používané v archeológii v tzv. gradientovom prevedení (pole je merané v 2 úrovniach) a v multi-senzorovom usporiadaní.

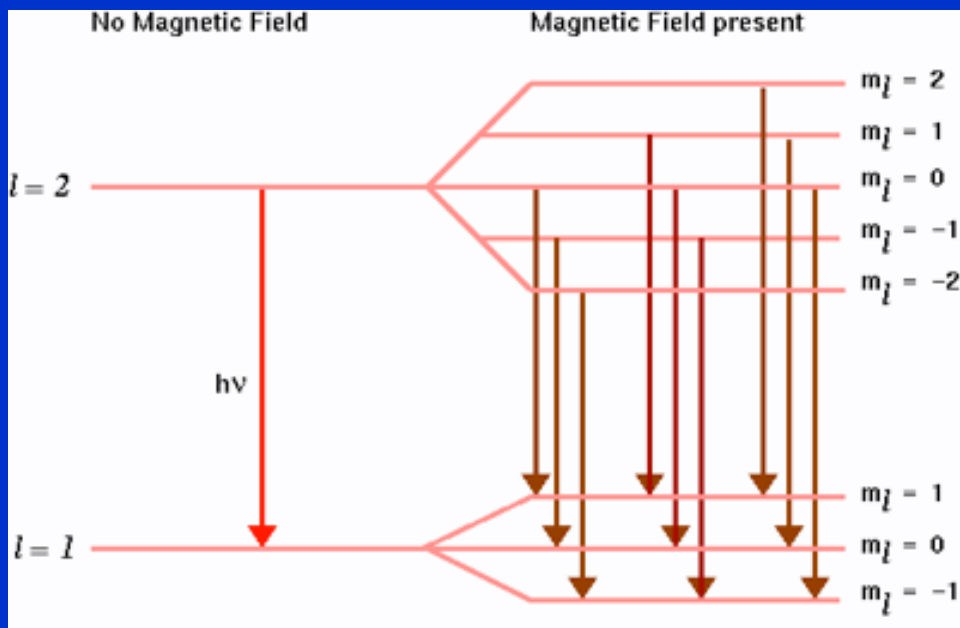


Presnejšie a najmä rýchlejšie ako protónové magnetometre.

prístroje v magnetometrii

Magnetometer s tzv. optickým pumpovaním:

Využíva tzv. Zeemanov efekt štiepenia energetických hladín elektrónov vo vonk. magn. poli.



Tento jav sa sleduje vo výparoch cézia alebo draslíka, ktoré sú nasvecované monochromatickým svetlom.

prístroje v magnetometrii

"Céziový" magnetometer: (Cs-vapour magnetometer)

Merací čas sú rádovo desatiny až tisíciny sekundy
(patrí medzi najrýchlejšie prístroje).

Vnútorná presnosť je na úrovni 0.01 nT, vonkajšia ± 1 nT.
Využíva sa najmä pri UXO, geol. a archeol. aplikáciách.



prístroje v magnetometrii

Rôzne spôsoby merania – aj letecké formy (drony).



high-definition magnetometry

Magnetometria je spomedzi geofyzikálnych metód na úplnom vrchole, čo sa týka hustoty zberu údajov (krok zberu dát dokáže byť na úrovni iba **niekoľkých cm** a vzdialenosť medzi profilmami **niekoľkých dm**).

Z tohto hľadiska sa zvykne vŕavieť aj o tzv. HD magnetometry (high-definition).

Meria sa ručne alebo pomocou štvorkoliek, budúcnosťou budú určite drony. Všade ide o tzv. walking mode, kedy sa meria plynulo bez zastavenia. Detto platí samozrejme aj o leteckej magnetometrii.



magnetické vlastnosti látok – **magnetická permeabilita a susceptibilita**

magnetické vlastnosti látok – susceptibilita

V magnetometrii sa okrem permeability používa aj susceptibilita, pričom platí jednoduchý vzťah:

$$\mu_r = 1 + \kappa$$

κ – objemová susceptibilita, ide o bezrozmerné číslo, používajú sa však tzv. [SI jednotky]; vo vákuu platí $\kappa = 0$, Susceptibilita je podobná v analógii na hustotu v gravimetrii a vratí, ako silno sa daná látka zmagnetizuje vo vonkajšom magnetickom poli.

magnetické vlastnosti látok – susceptibilita

$\kappa < 0, \mu_r < 1$ – diamagnetické látky (minerály),

hodnoty: -10^{-6} až -10^{-5} [SI], napr.: kremeň,

vápenec, živce, grafit, sádrovec, halit, galenit

$\kappa > 0, \mu_r > 1$ – paramagnetické látky,

hodnoty: 10^{-5} až 10^{-3} [SI], napr. pyroxén, olivín,

amfibol, biotit, pyrit, siderit, muskovit,..

$\kappa \gg 0, \mu_r \gg 1$ – feromagnetické látky s.l.

hodnoty: 10^{-2} až 10^{+2} [SI], napr. magnetit,

titanomagnetit, ulvöspinel, hematit, ilmenit

feromagnetické látky (s.l.) sa delia na 3 skupiny:

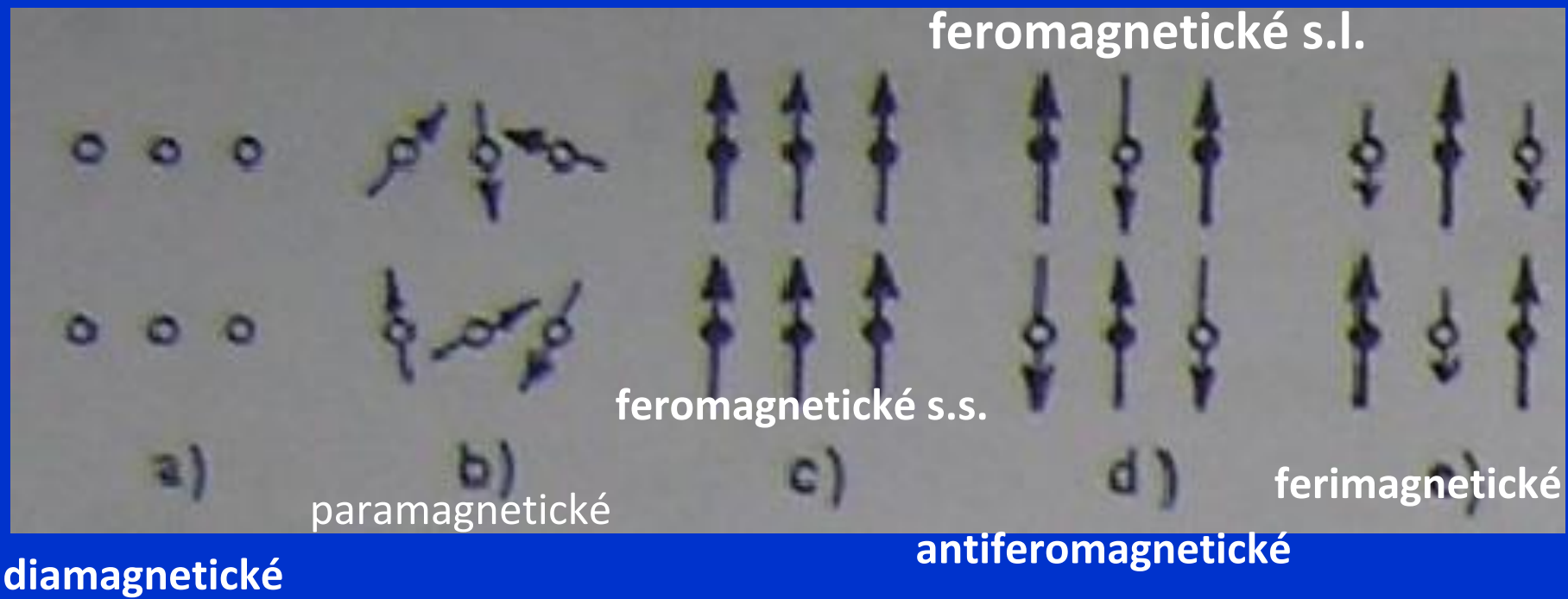
a) feromagnetické látky s.s. (v užšom zmysle)

b) antiferomagnetické

c) ferimagnetické

magnetické vlastnosti látok – susceptibilita

Schéma usporiadania magnetických momentov (tzv. magnetických domén) v štruktúre látky:



magnetické vlastnosti minerálov

Magnetické vlastnosti minerálov sú spojené s obsahom iónov so stálym magnetickým momentom – tzv. magnetofórov (iónov charakterizovaných prítomnosťou niektorých nepárových elektrónov v obale – Fe^{+3} , Fe^{+2} , Mn^{+2} , Mn^{+3} , Mn^{+4} , Ni^{+2} , Co^{+2} , Cr^{+3}).

Pri celkovej magnetizácii hornín sa najviac prejavujú feromagnetické minerály (s.l.), ktoré sú v naprostej väčšine rudnými minerálmi – **oxidy**, **hydroxidy**, **sulfidy**. Napriek tomu, že sú často v horninách vedľajšími alebo dokonca akcesorickými zložkami, postačuje to na to, aby sa celá hornina chovala aniferomagneticky.



magnetit

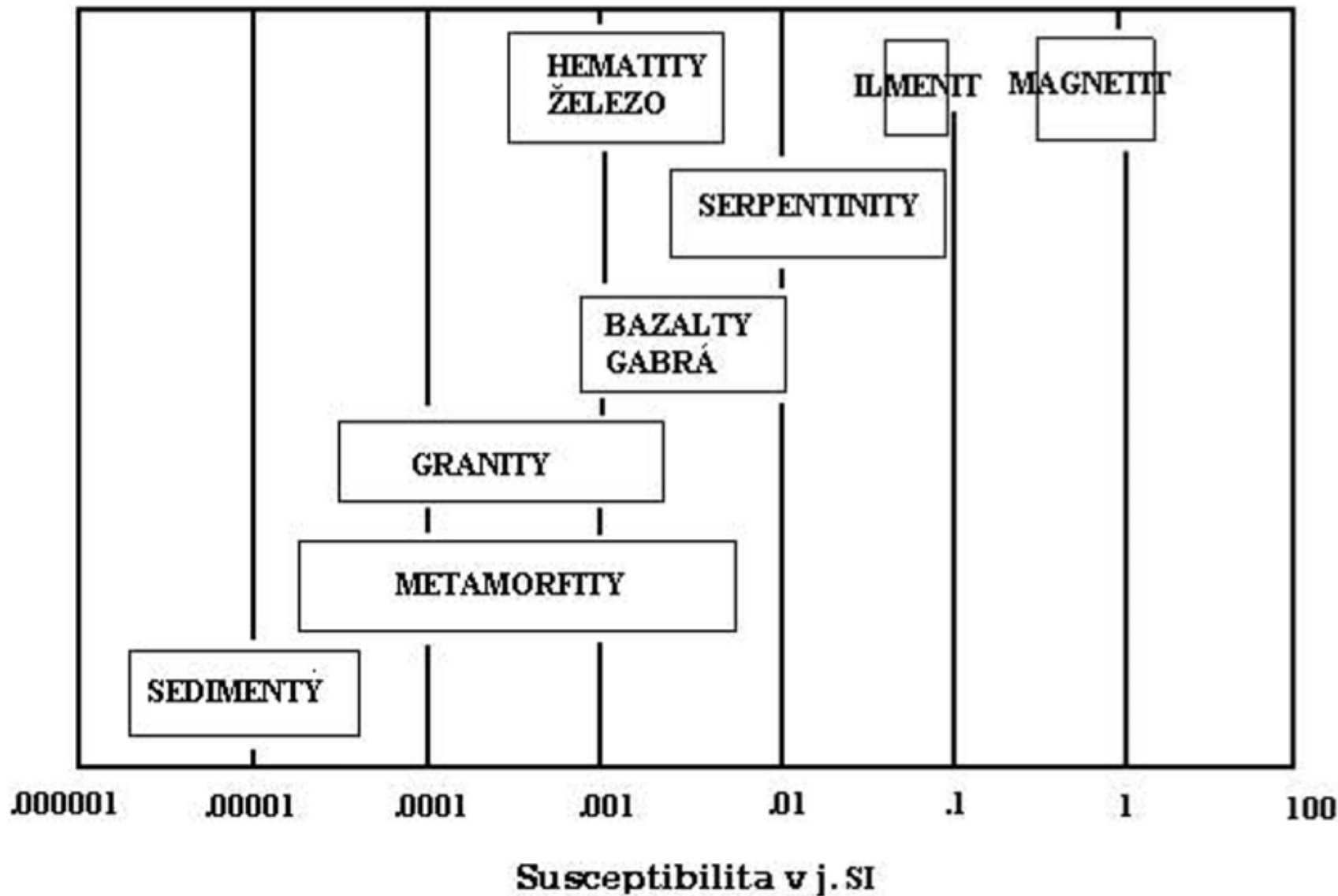


hematit



limonit

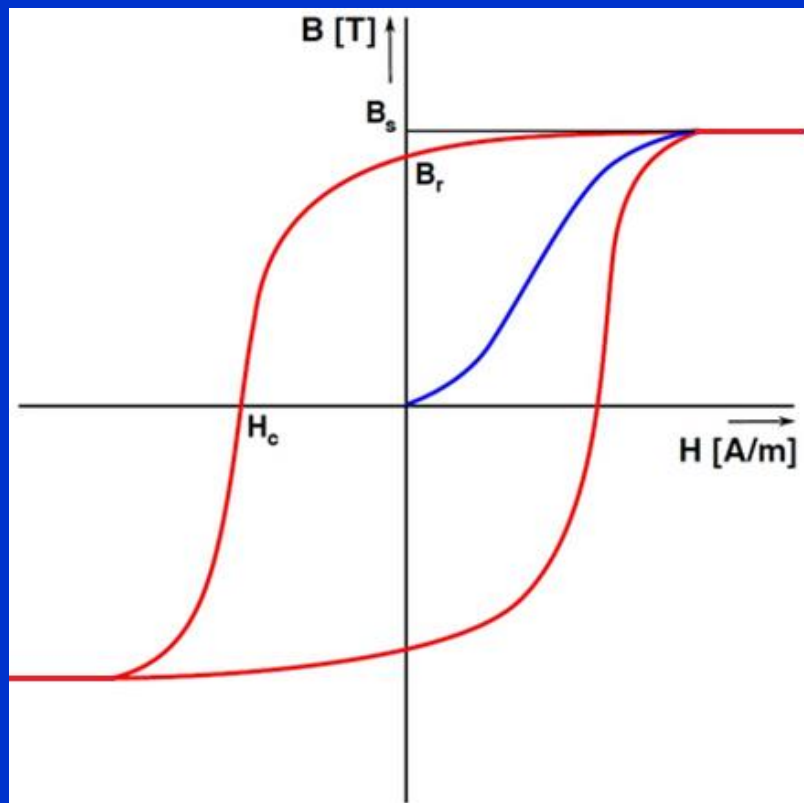
magnetické vlastnosti hornín



magnetické vlastnosti látok – základné pojmy

Paramagnetickým látкам nezostáva po „vypnutí“ vonkajšieho magnetického poľa magnetický moment, v prípade feromagnetických je to rozdielne – zostávajú zmagnetizované.

Tento jav opisuje **magnetická hystézia (krivka)**:



B_s – stav nasýtenia (max. hodnota B),
 B_r – remanentná magnetizácia,
 H_C – koercitívna intenzita,

Podľa veľkosti H_C delíme feromagnetické látky na magneticky mäkké (malá H_C) a tvrdé (veľká H_C).

magnetické vlastnosti látok – základné pojmy

Paramagnetickým látкам nezostáva po „vypnutí“ vonkajšieho magnetického poľa magnetický moment, v prípade feromagnetických je rozdielne – zostávajú zmagnetizované.

Rozpoznávame tzv. indukovanú magnetizáciu a remanentnú magnetizáciu.

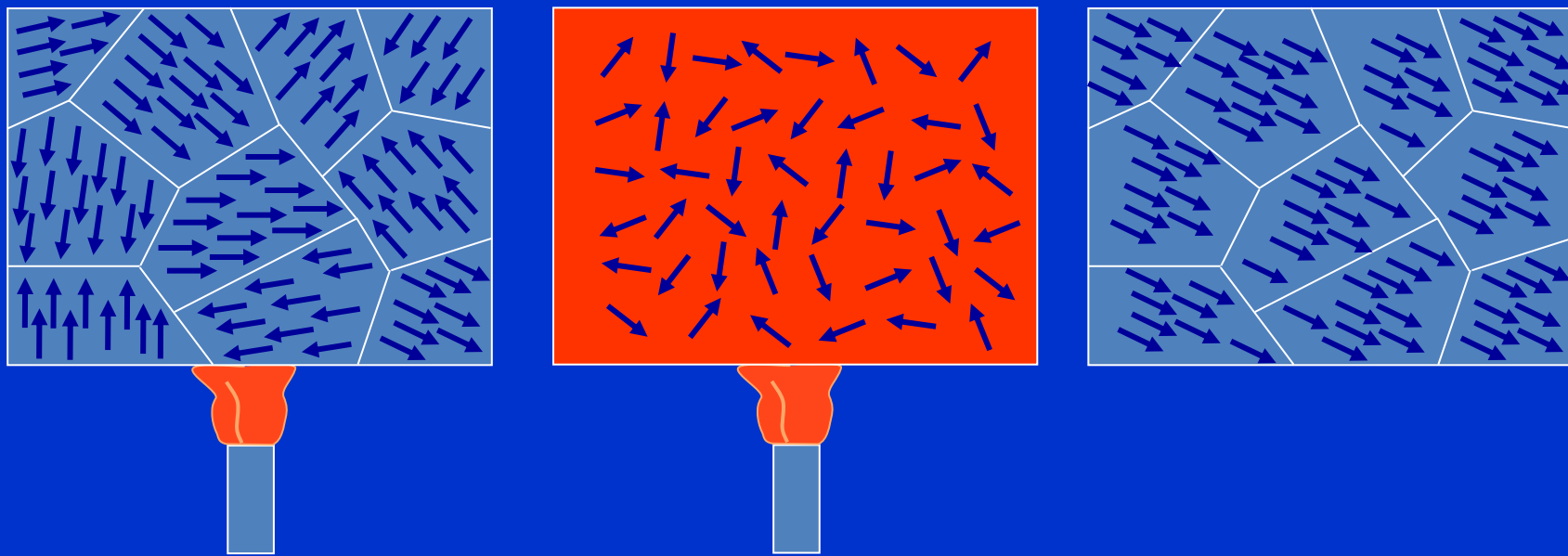
Remanentná magnetizácia (NRM):

- termoremanentná (pri pôsobení vonk. magn. poľa po tom, ako klesne teplota horniny pod Courierov bod)
- chemická (pri kryštalizácii minerálov z chem. roztokov)
- detritická (pri sedimentácii úlomkov feromagn. hornín)
- viskózna (pri dlhodobom pôsobení poľa, prejavuje sa najmä pri magneticky mäkkých látkach)
- izotermálna (krátkodobé pôsobenie, napr. úder blesku)
- dynamická (pri tektonických procesoch)

magnetizmus – základné fyzikálne veličiny

feromagneticke látky – Curieho teplota

Pri zohriatí feromagnetickej látky na určitú teplotu (tzv. **Curieho teplota**, napr. pre železo cca 770°C) sa látka zmení na paramagnetickú. Keď teplota poklesne, látka sa znova stane feromagnetickou a obnoví sa doménové usporiadanie.



Pozn.: Uvedená vlastnosť sa prejavuje aj pri vzniku magnetizacie hornín (tzv. termoremanentná magnetizácia) – pri tuhnutí magmy (lávy)

Magnetometria - základné spracovanie dát:

- kontrola dát (QC – quality control)
- oprava o variácie geomagnetického poľa
(netreba vykonávať pre gradientové usporiadania)
- odpočítanie tzv. normálneho poľa: výpočet poľa ΔT
(štatist. metódy alebo globálne modely – napr. IGRF)
(netreba vykonávať pre gradientové usporiadania)
- zavedenie špeciálnych opráv na hodnotové posuny medzi senzormi
- interpolácia do máp poľa ΔT a vizualizácia
(farebné alebo ČB tieňované mapy)
- pozn.: niektorí autori zavádzajú aj magnetické terénne korekcie (nie je to však bežné)

variácie geomagnetického poľa – časové zmeny:

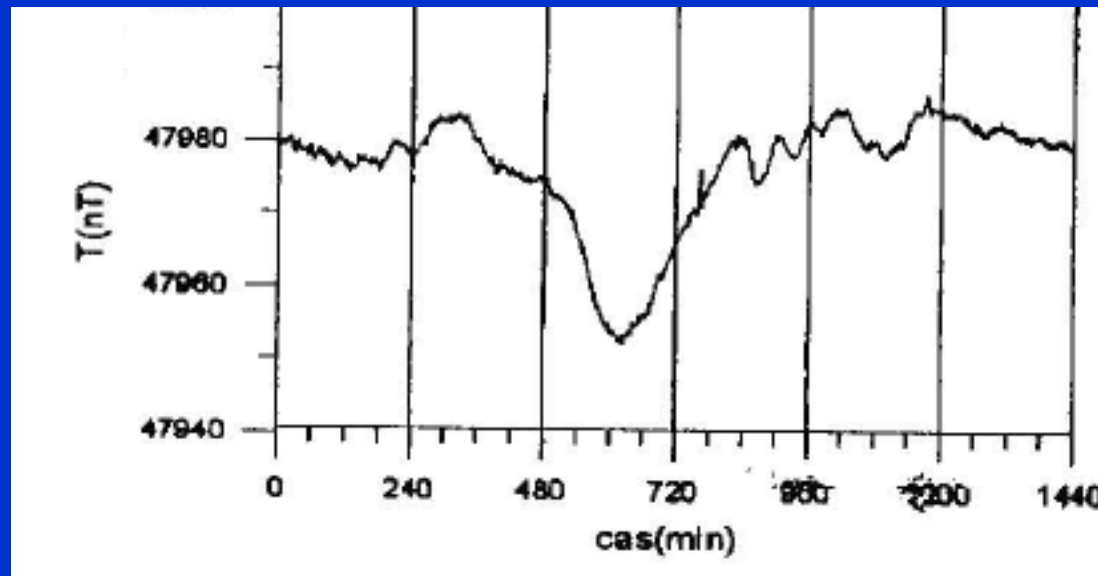
dlhodobé:

sekuárne – procesy vo vnútri zemského telesa (500 rokov);
zmeny aktivity Slnka – 11.5 ročná periodicita

krátkodobé:

denné a poldenné variácie (súvisia s rotáciou Zeme)

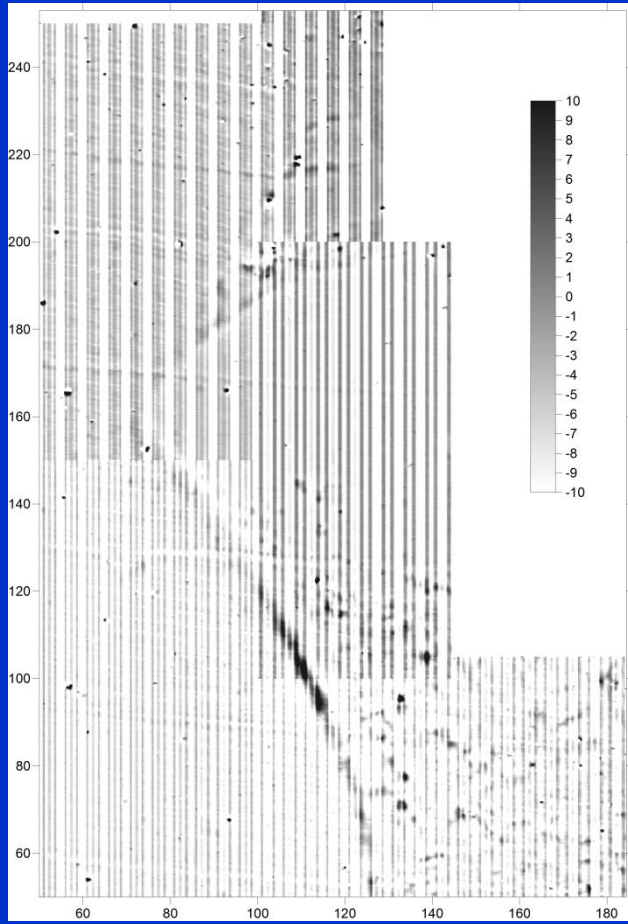
magnetické búrky – nepravidelné (súvisia so slnečnou činnosťou)



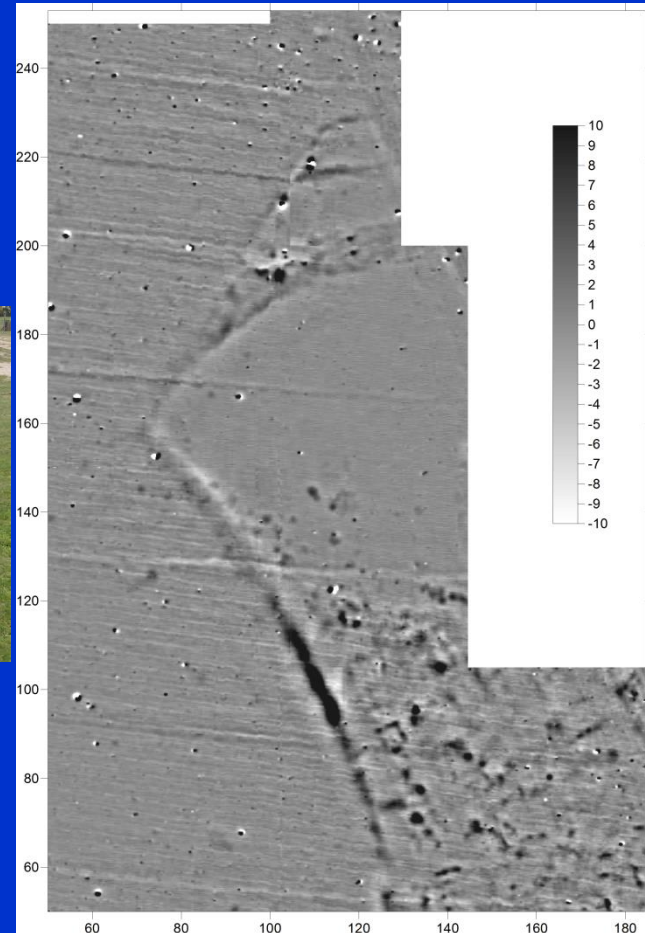
Sú registrované v observatóriách alebo v teréne tzv. variačným (staničným) magnetometrom. Niekedy sa z dát odstraňujú pomocou špeciálnych filtrov.

hodnotové posuny medzi senzormi (tzv. heading error):

pôvodné dáta

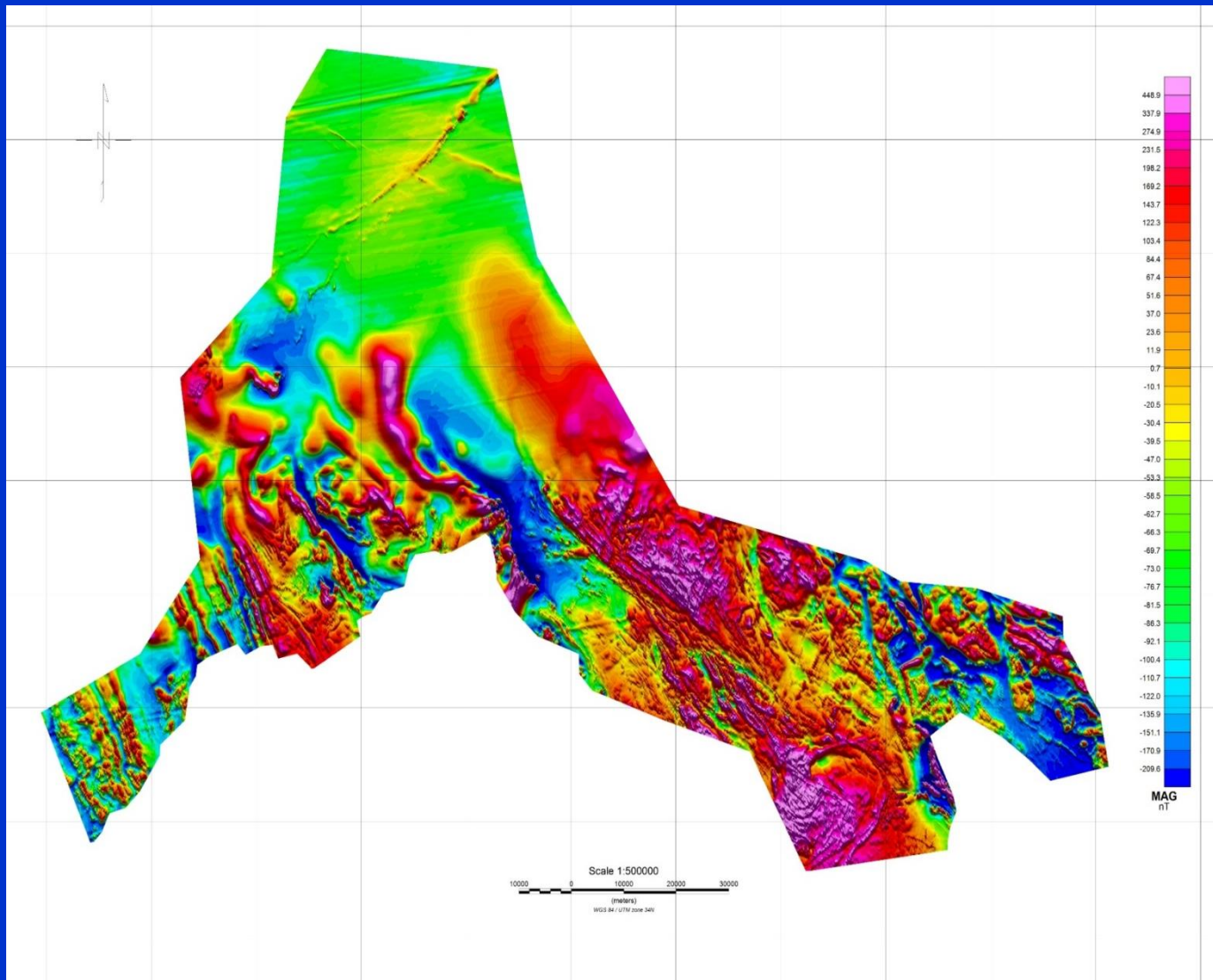


filtrované dáta



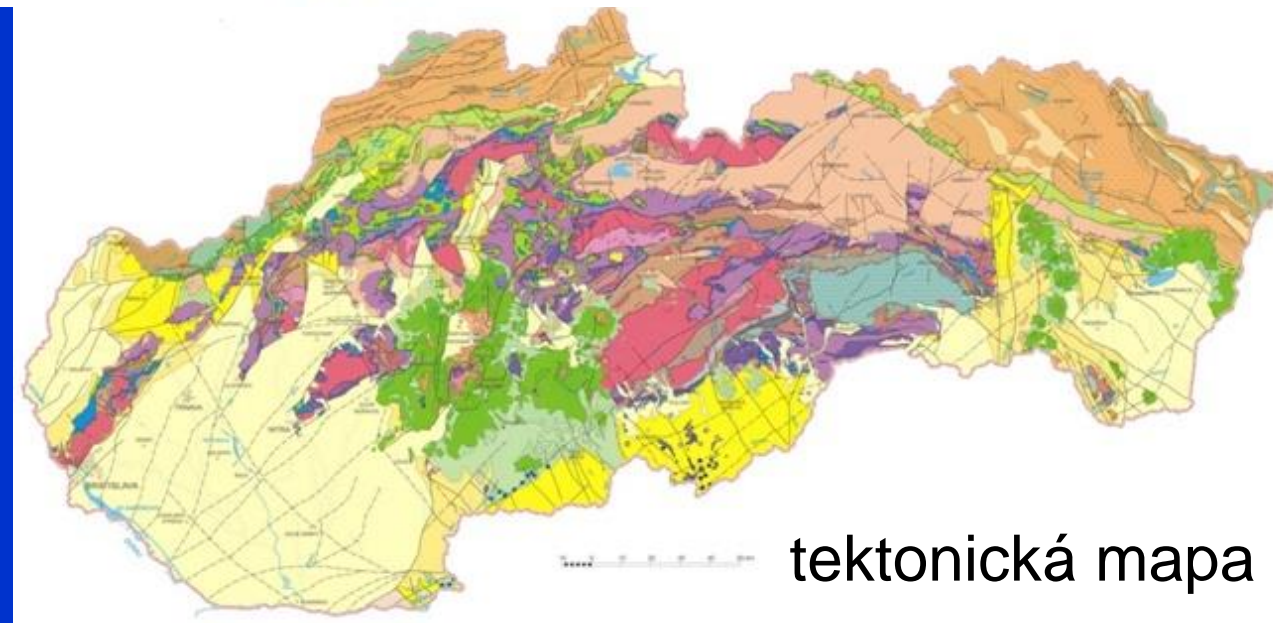
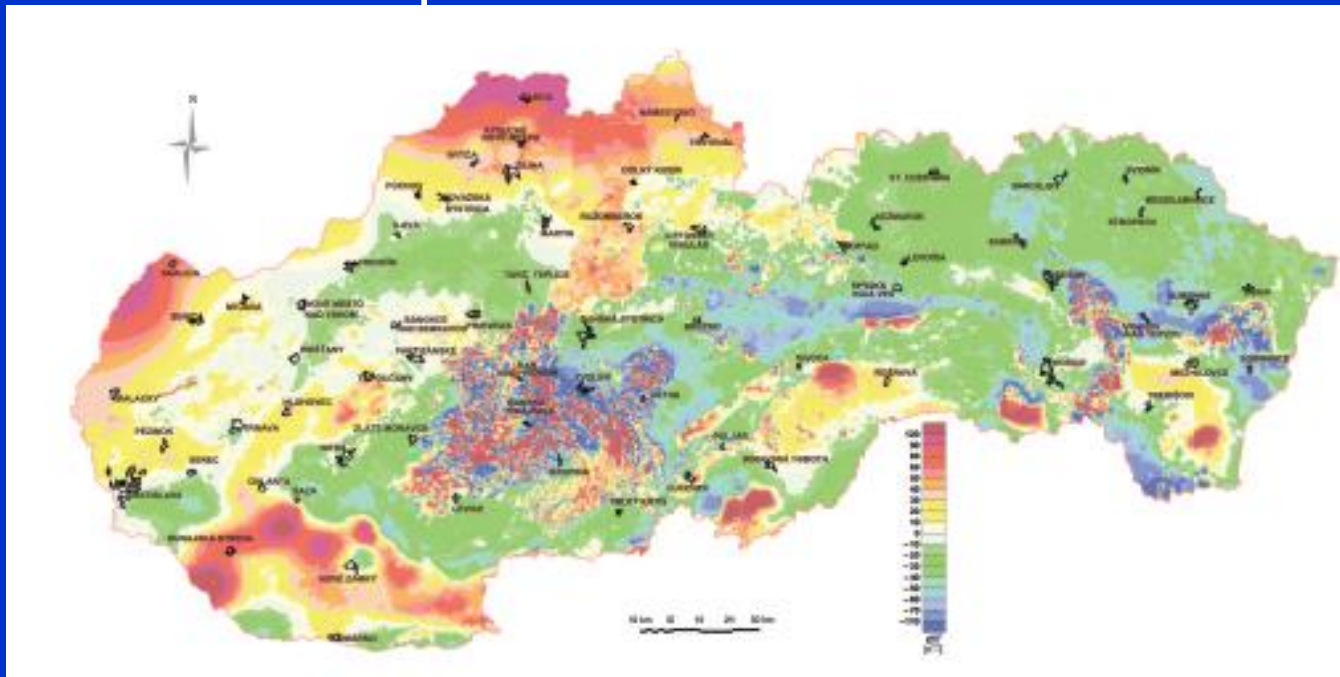
Dobré skúsenosti sú s tzv. mediánovými filtrami alebo postupom, ktorý sa nazýva ako tzv. mikroleveling.

príklad interpolácie výsledných hodnôt ΔT do mapy:
(pole ΔT sa niekedy v anglickej literatúre označuje ako TMI)



oblasť severného Nórska (zdroj: NGU), časť plochy je offshore

mapa ΔT – územie Slovenska



interpretácia v magnetometrii

INTERPRETÁCIA –

kvalitatívna/kvantitatívna

kvalitatívna – opisuje kvalitatívne pole ΔT

kvantitatívna – určuje hĺbkové, rozmenrové, tvarové a hustotné parametre študovaných geologických objektov

dôležité pojmy:

- a) priama úloha** – pri zadaných parametroch telies vypočítať ich magnetický efekt (tzv. modelovanie)
- b) obrátená úloha** – opačná úloha (náročnejšia)

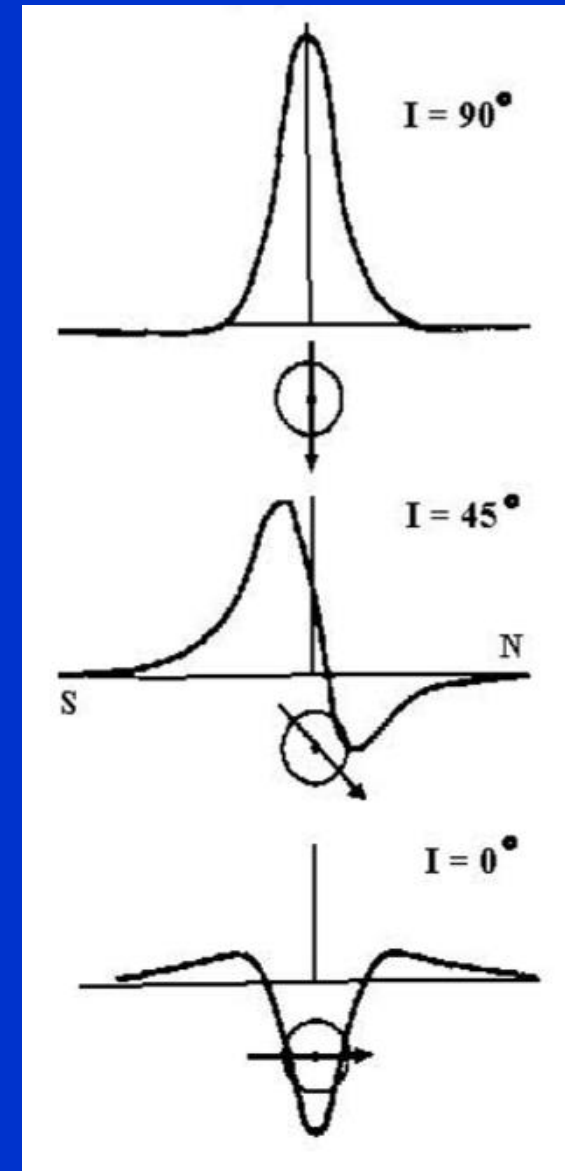
Aj tu zostáva v platnosti nejednoznačnosť riešenia obrátenej úlohy.

interpretácia v magnetometrii

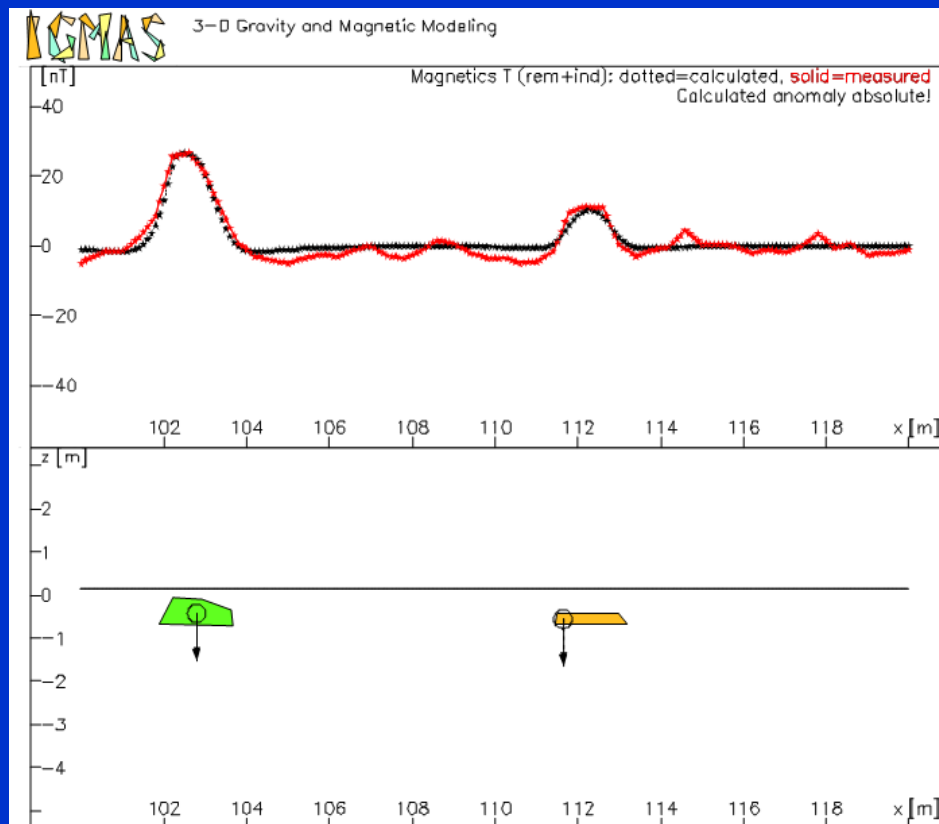
Anomálie od zmagnetizovaných objektov majú vždy dipólový charakter.

Tvar anomálie a jej amplitúda závisí od viacerých faktorov:

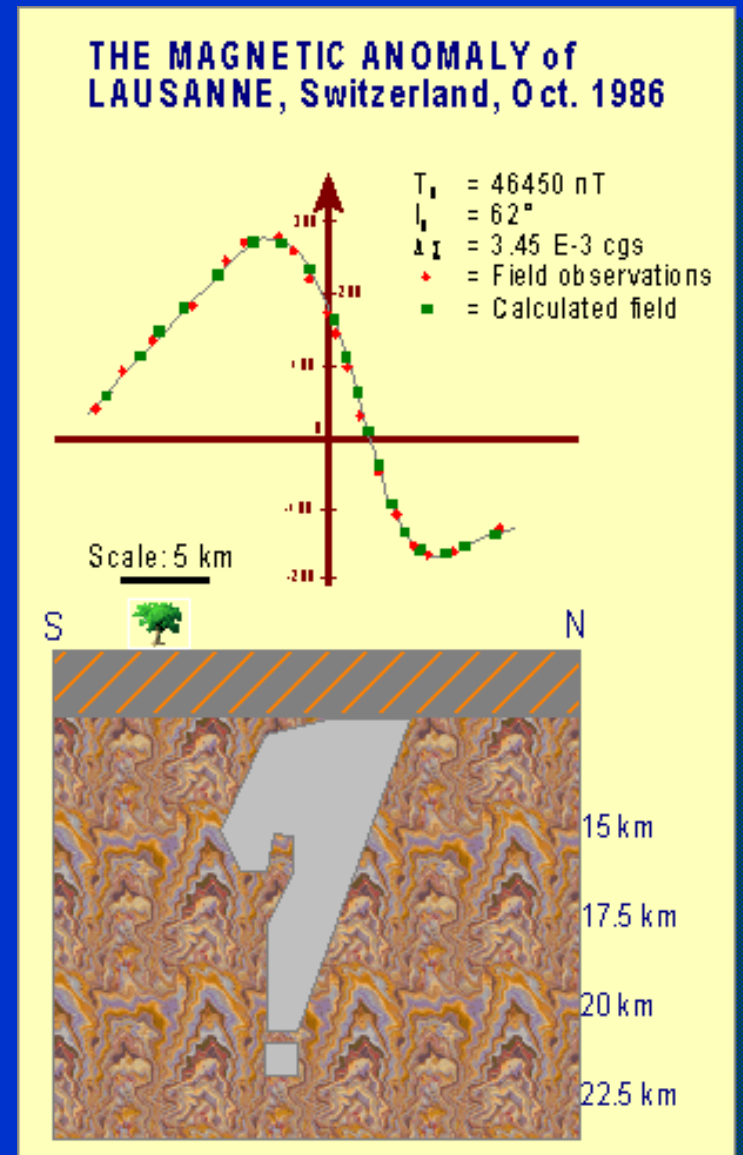
- smer vektora magnetizácie (v prípade iba indukovej magnetizácie – zemepisná šírka),
- tvar telesa (natiahnutie v smere magnetizácie),
- hĺbka uloženia telesa,
- magnetická susceptibilita
- smer a poloha profilu.



interpretácia v magnetometrii



Výstup modelovania magnetického anomálneho poľa od plytko uložených telies.



Aj tu zostáva v platnosti nejednoznačnosť riešenia obrátenej úlohy.

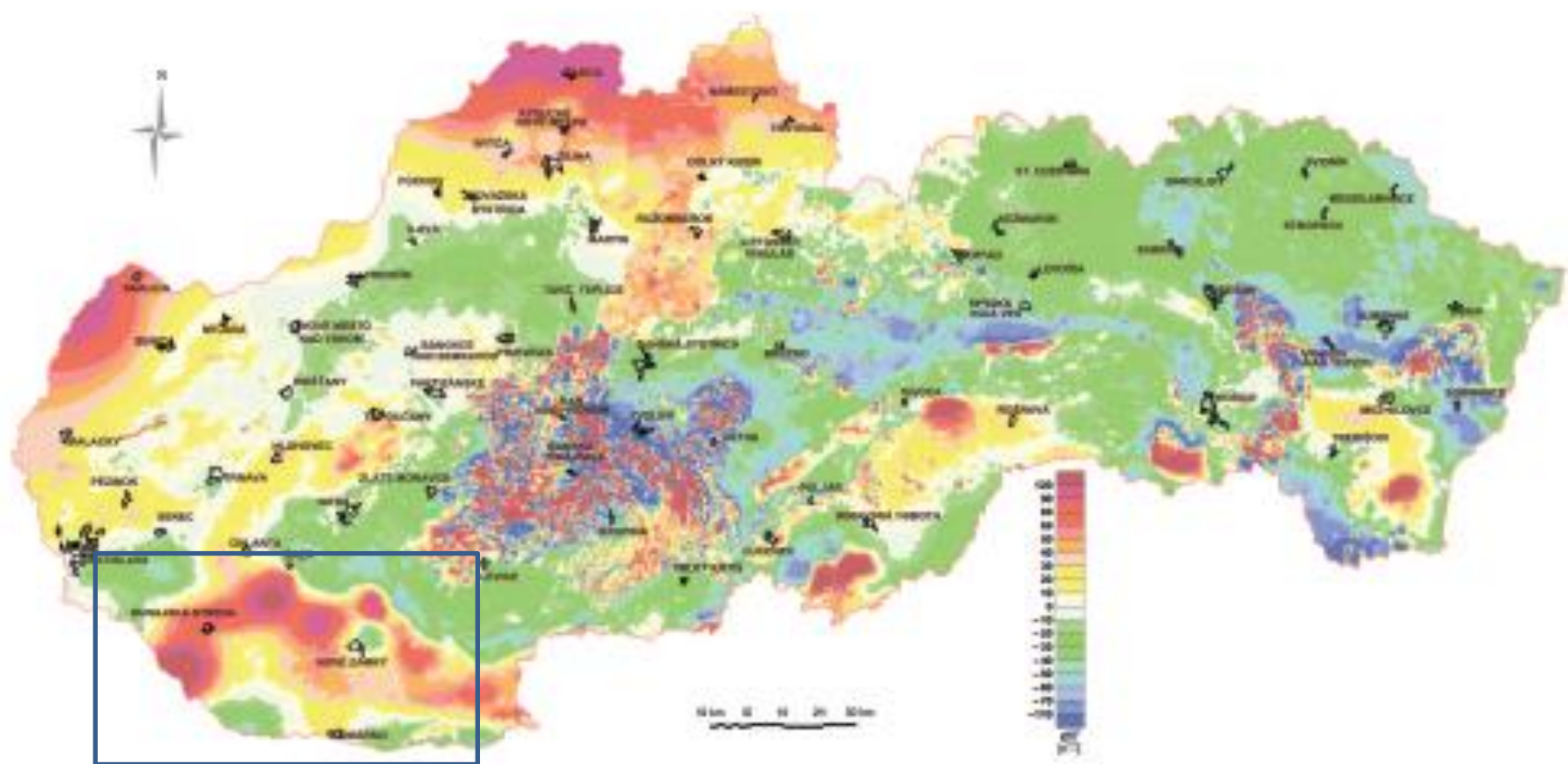
využitie magnetometrie

- v regionálnej a štruktúrnej geológii
- v ložiskovom a ropnom prieskume
- detekcia archeologických objektov
- detekcia nevybuchnutej munície
(UXO = UneXploded Ordnance)
- atď. (potrebný je kontrast v susceptibiliti)

aplikácie magnetometrie

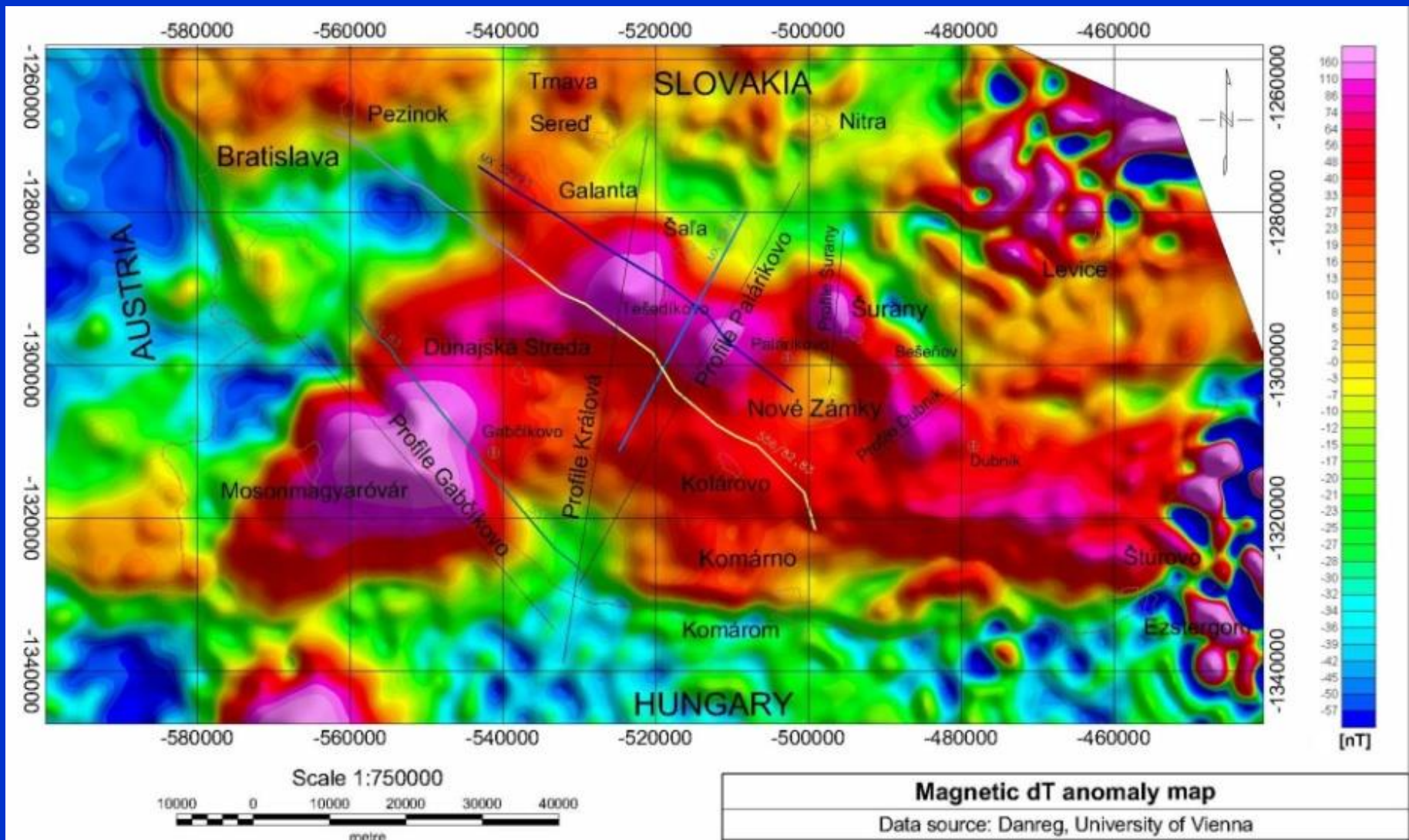
niekoľko príkladov

aplikácie magnetometrie



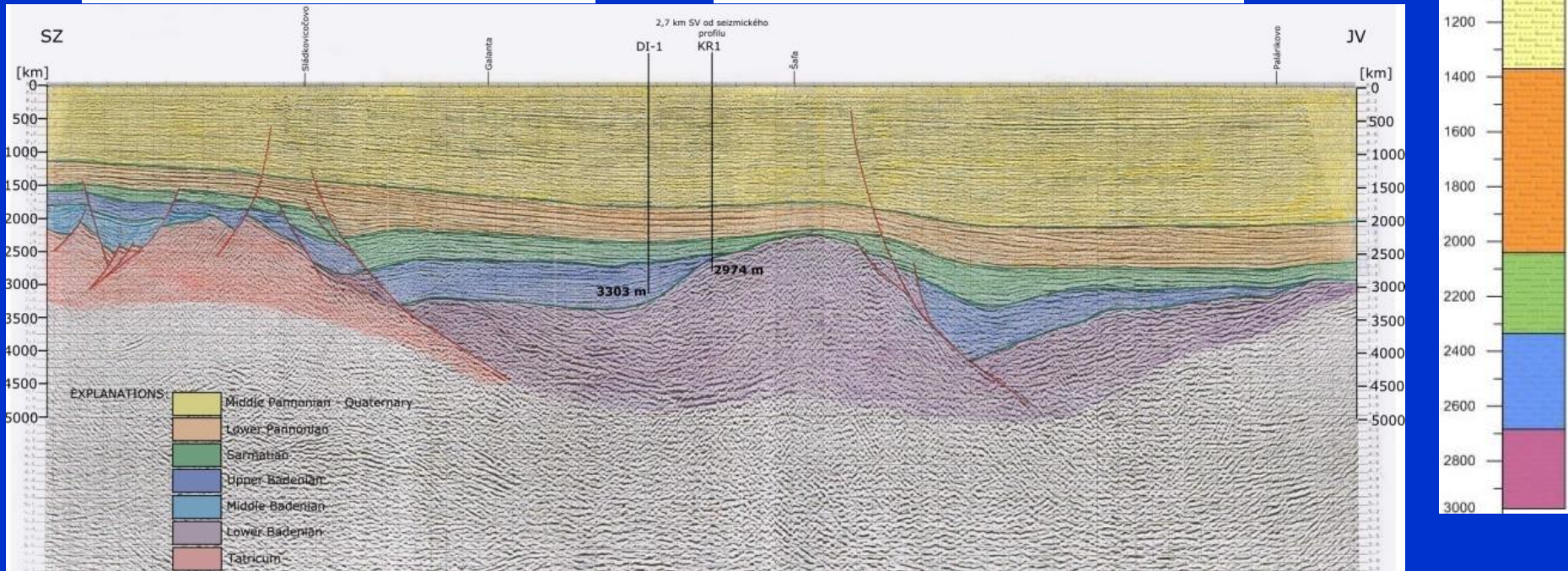
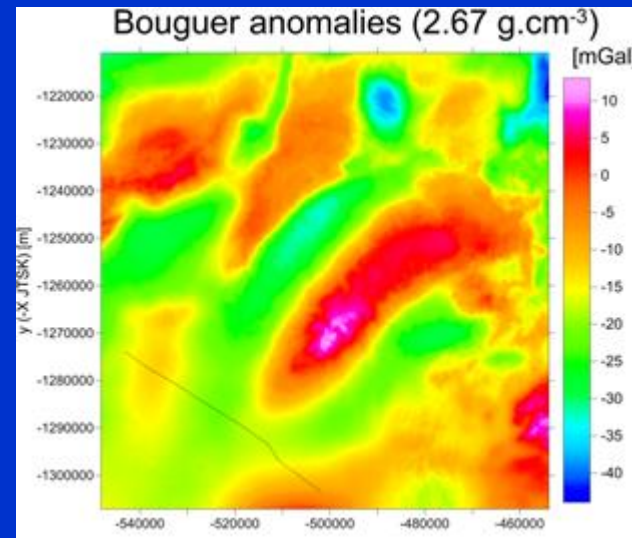
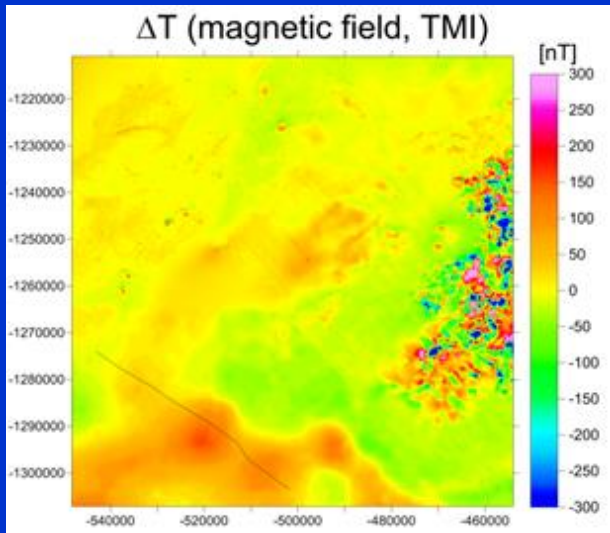
príklad – anomálne magnetické pole (magnetická indukcia) SR – - detail v obdĺžniku bude zobrazený na ďalšom snímku

aplikácie magnetometrie



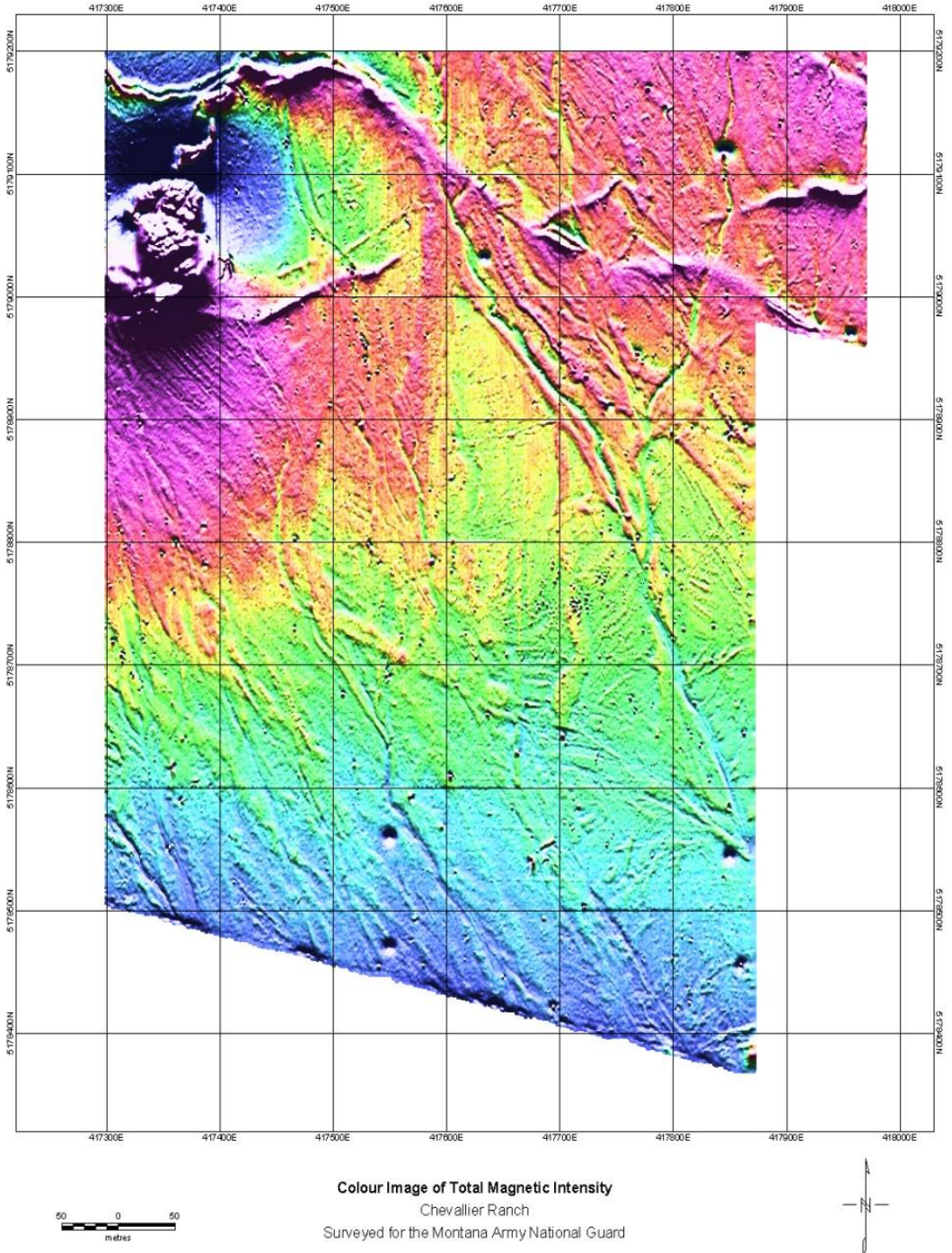
príklad – detail: anomálne magnetické pole (magnetická indukcia) z pohraničia SR, Maďarska a Rakúska.

magnetická anomália pochovaného stratovulkánu Kráľová



interpretovaný seismický rez MXS2

profil vrtu
Diakovce



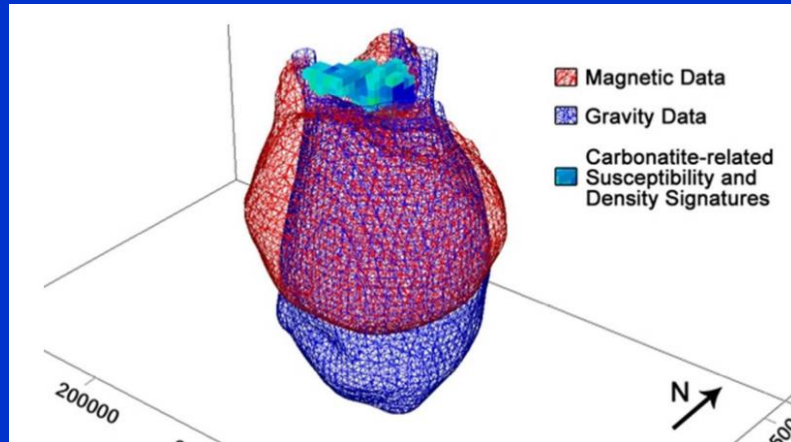
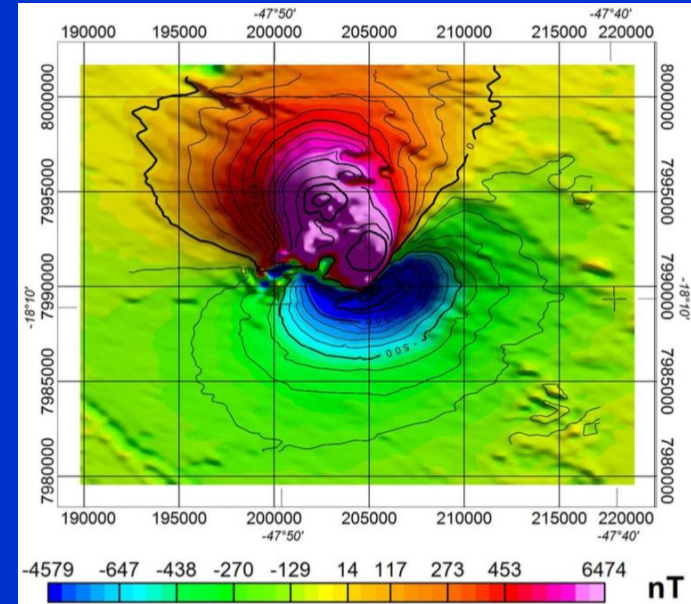
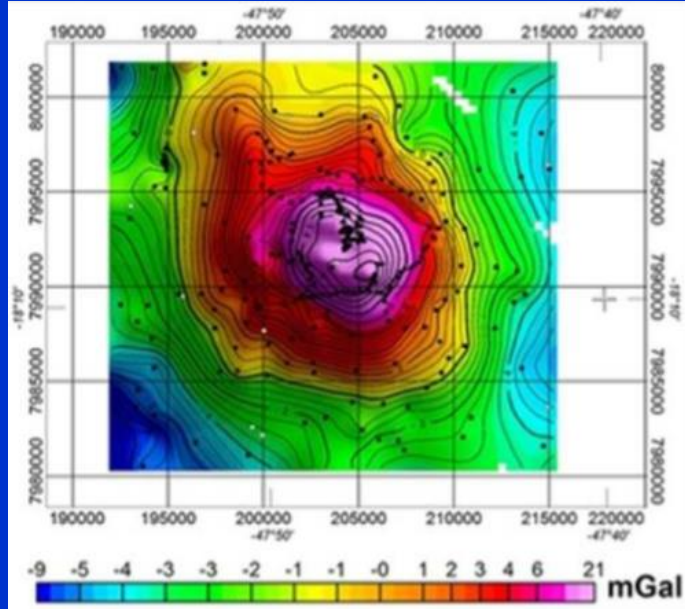
príklad : anomálne magnetické pole (magnetická indukcia), zmerané nad bazaltovým sopečným aparátom (plocha cca 0.6x0.8 km),

lokalita Chevalier ranch, Montana, USA

mapa ÚBA

ložisková geológia

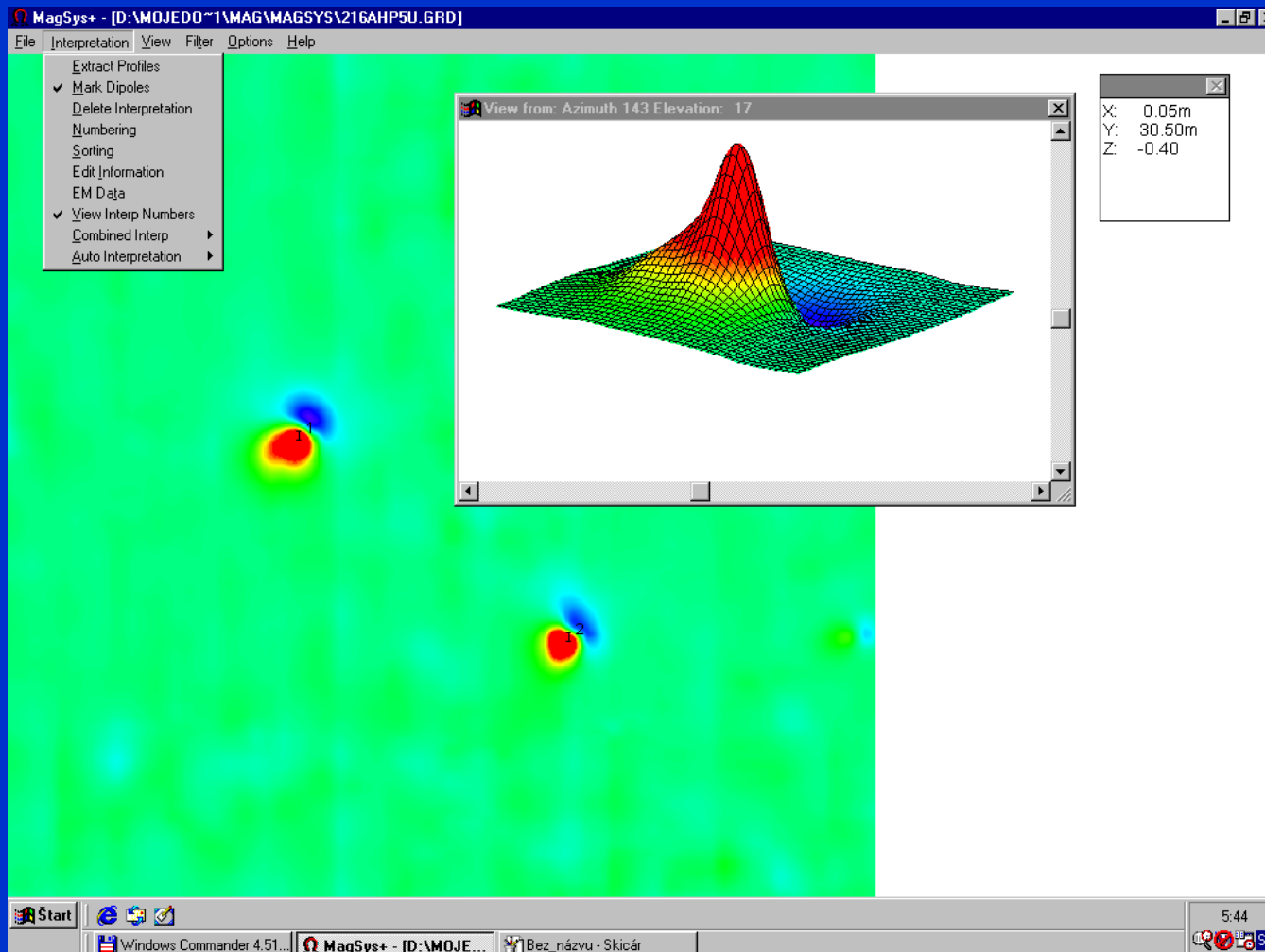
mapa ΔT



Výsledné modely
ložiska podľa
gravimetrie a
magnetometrie.

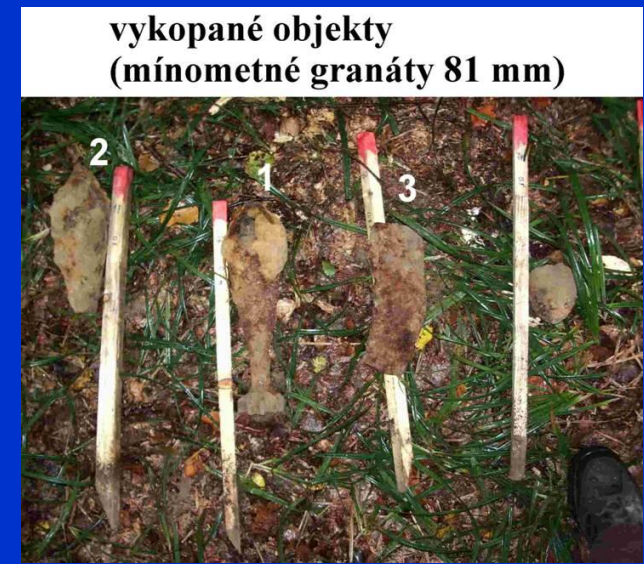
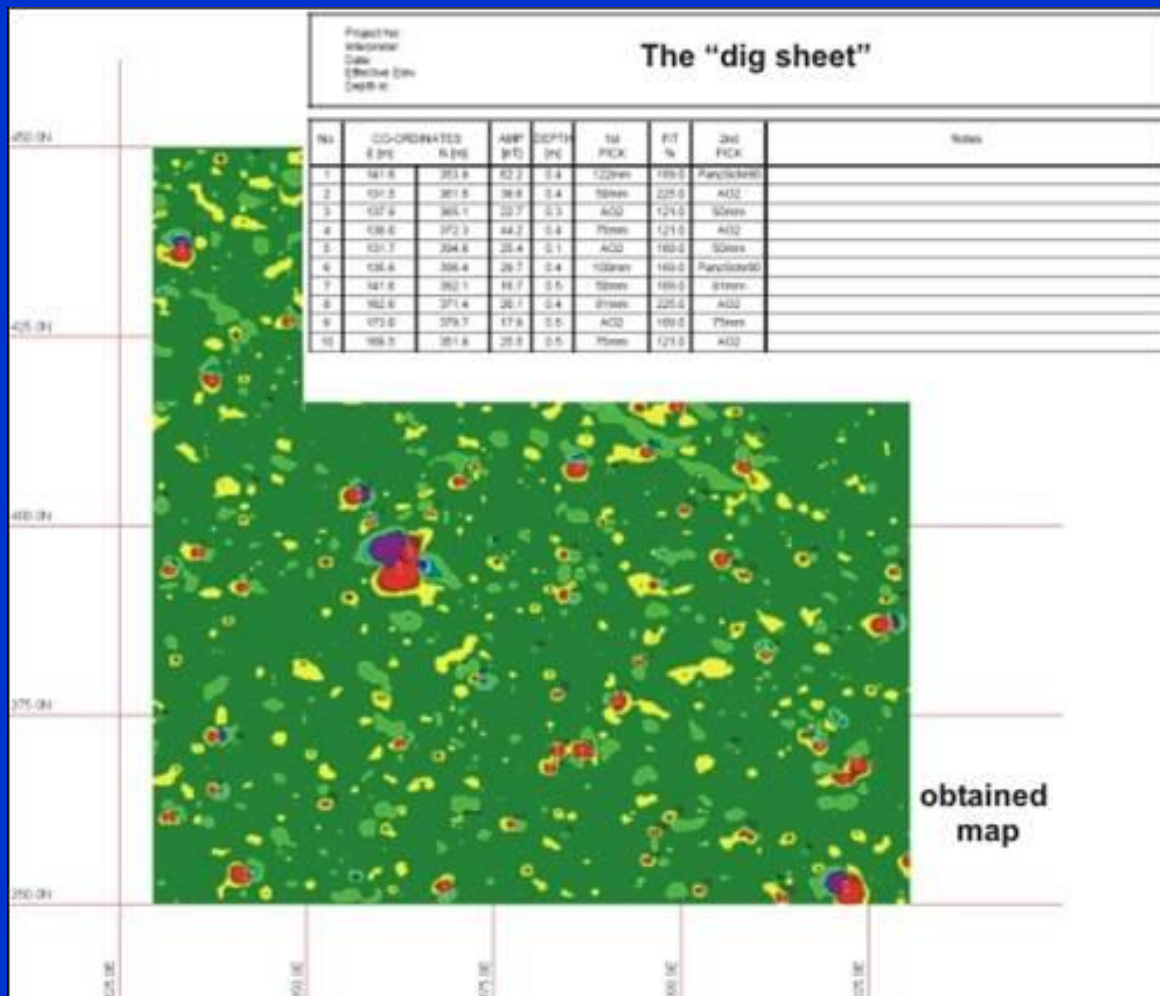
Prieskum karbonatitového ložiska Catalao v Brazílii
(Mantovani et al., 2014).

aplikácie magnetometrie – UXO detekcia



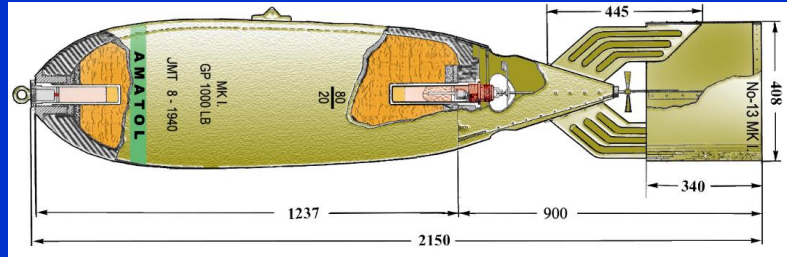
Príklad – typické dipólové anomálie namerané nad objektmi nevybuchnutej munície – UXO (železné projektily).

nevybuchnutá munícia z obdobia 2. sv. vojny, lokalita Železná Studienka, Bratislava



časť premeranej plochy so zoznamom objektov na exktráciu

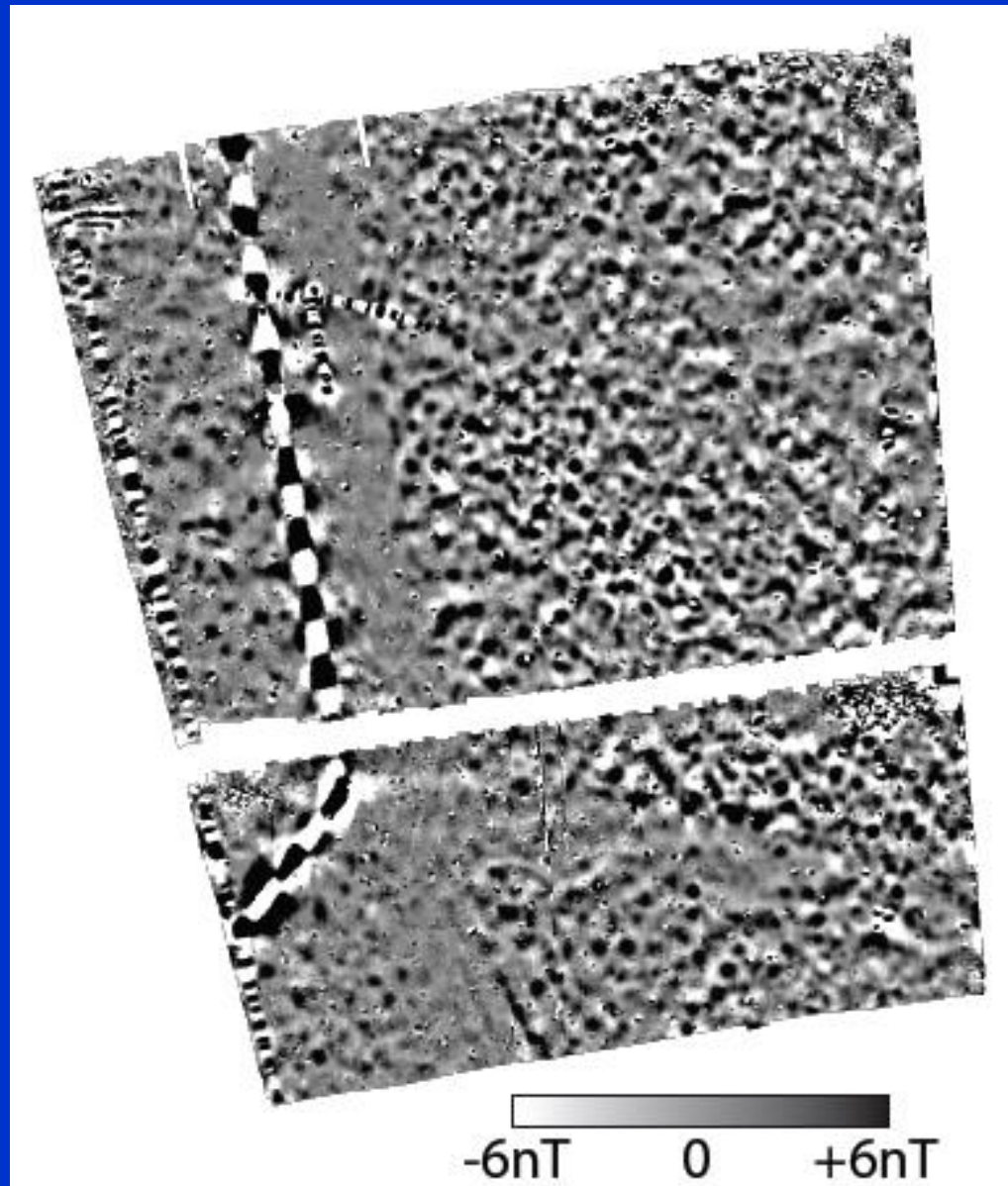
detekcia nevybuchnutej munície – priestor bývalej rafinérie Apollo v BA



aplikácie magnetometrie

Príklad – prejav oceľového potrubia (typické spojenie dipólových anomálií od jednotlivých častí potrubia)

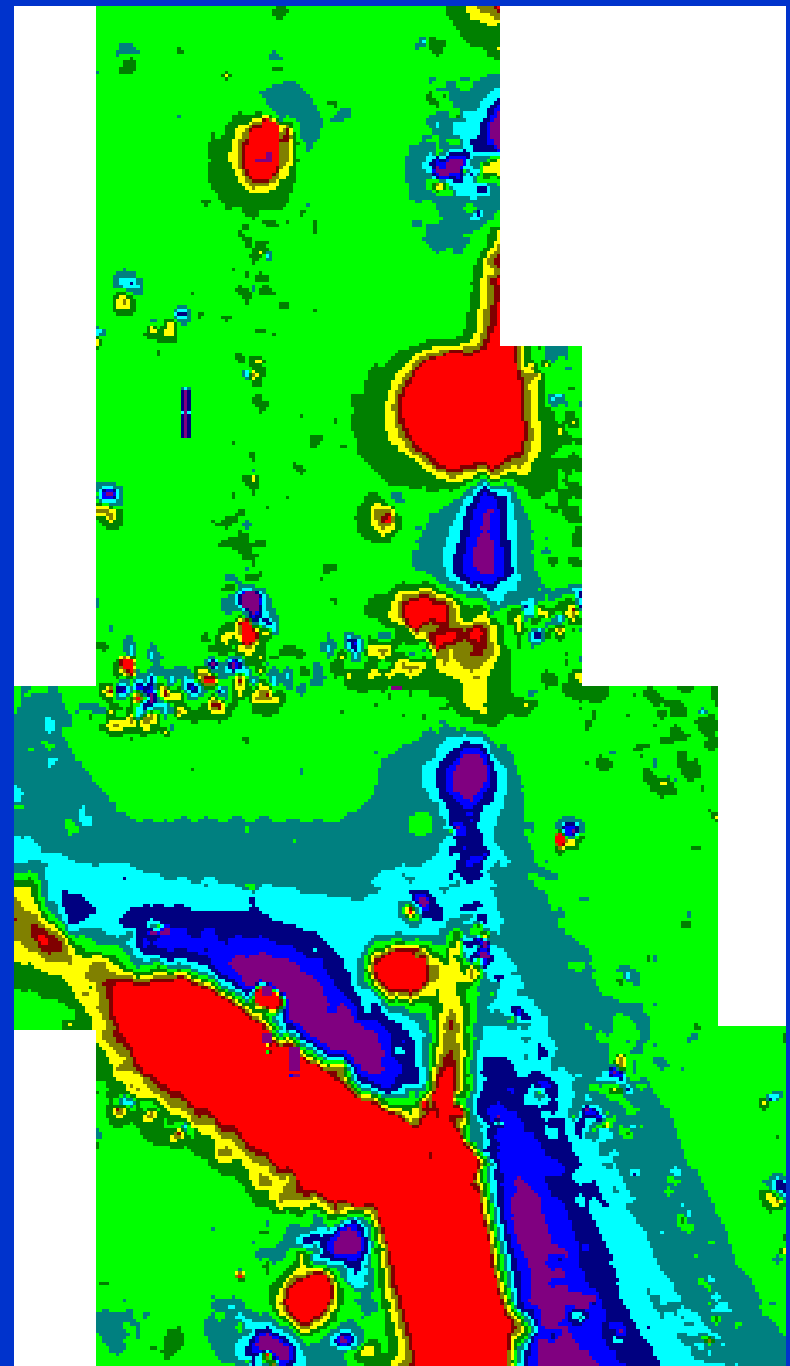
lokalita: Kiel, severné Nemecko



aplikácie magnetometrie

Príklad – prejav
železobetónového krytu
kanalizácie a oceľového
potrubia

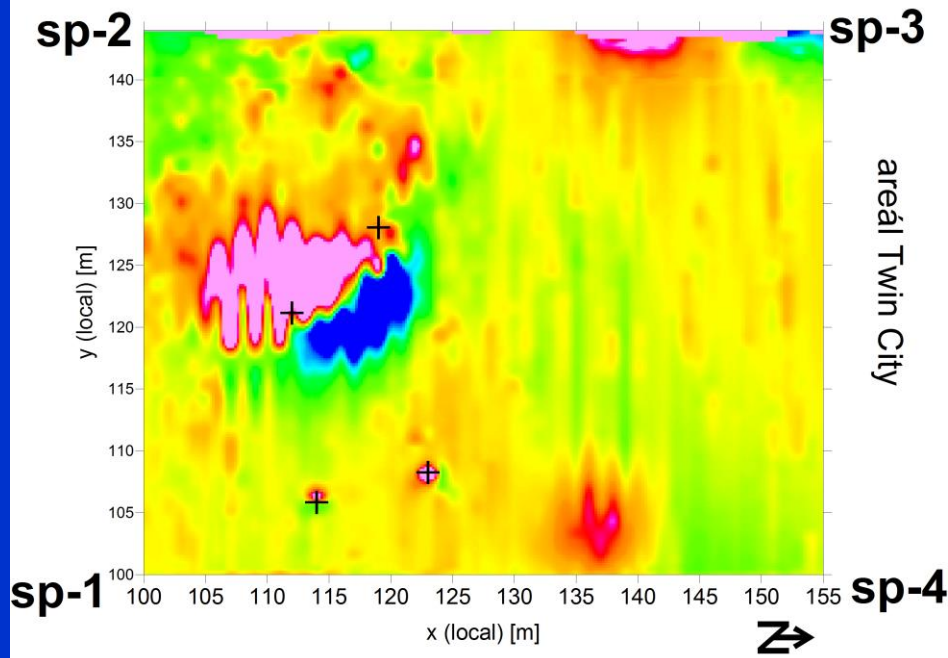
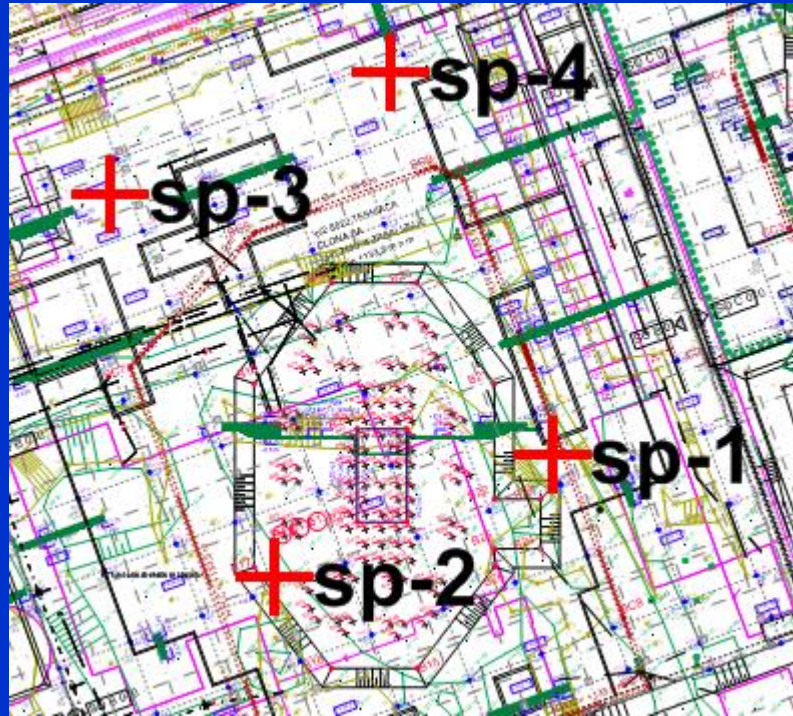
lokalita: Draždiak,
Bratislava



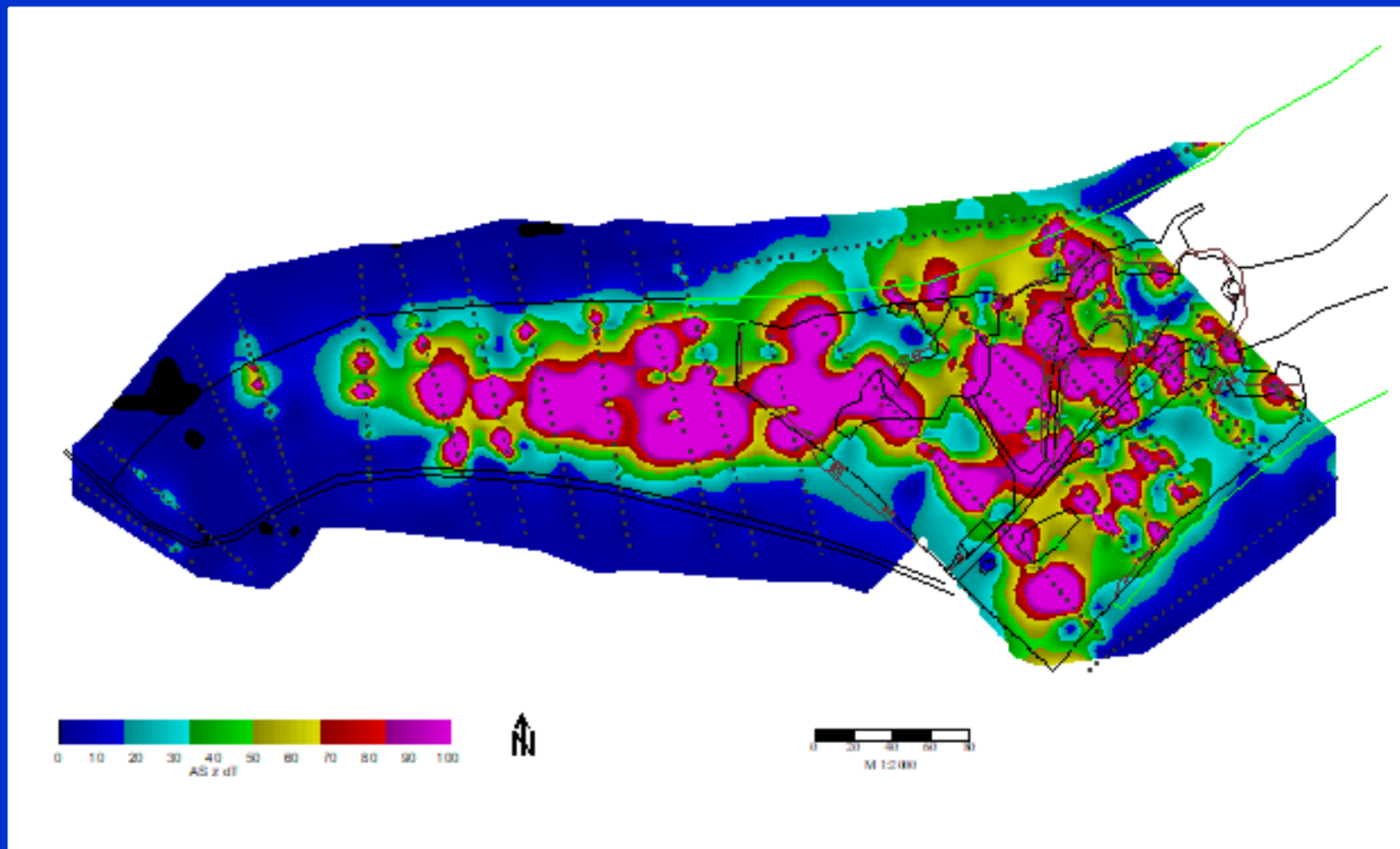
aplikácie magnetometrie

Príklad – prejav zvyšku
železobetónovej platne.

lokalita: stavenisko Skypark,
Bratislava



aplikácie magnetometrie – environmentálne problémy



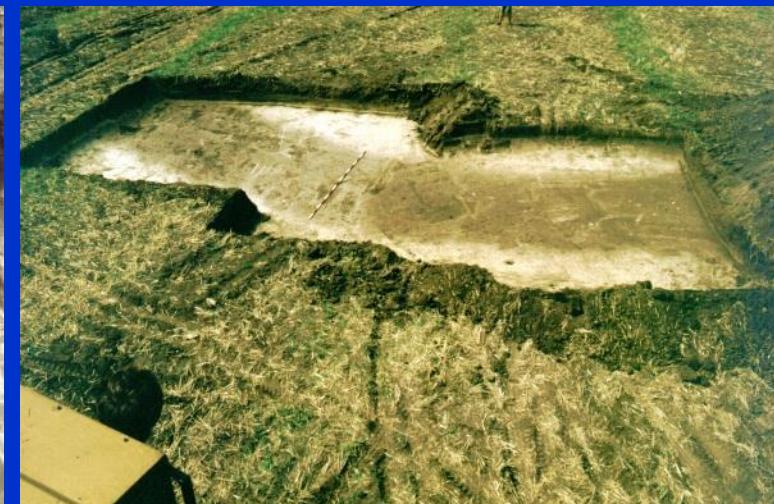
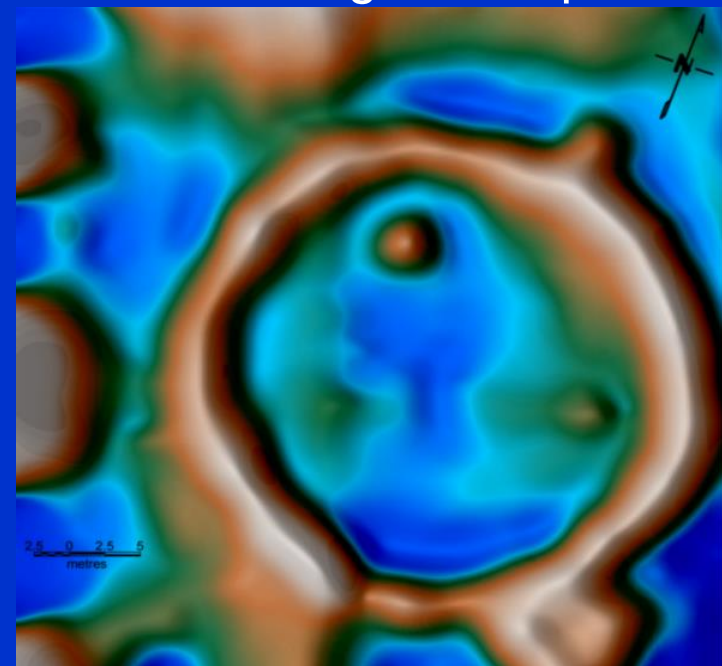
Vymapovanie zasypaných železobetónových blokov na starej skládke (Uzovská Panica).

aplikácie magnetometrie - archeológia

letecká snímka – letné obdobie



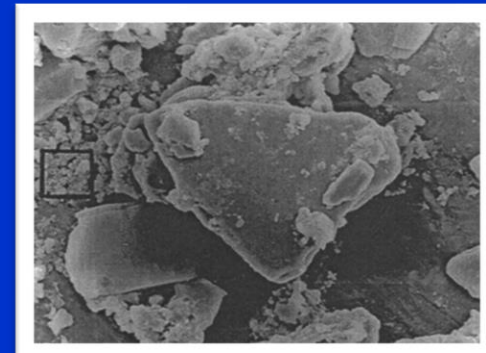
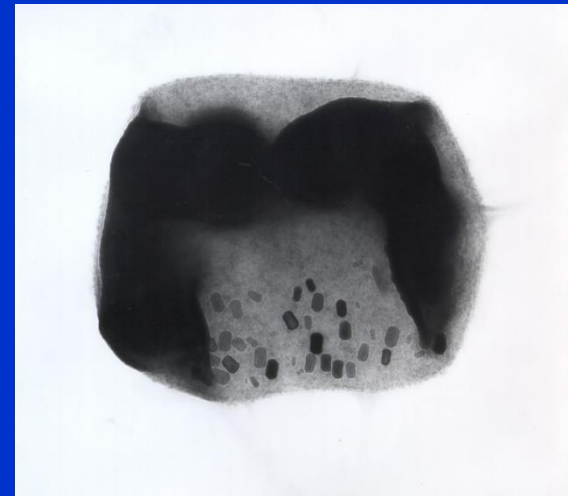
anomálne magnetické pole



BRANČ, okr. Nitra, obdobie: doba bronzová – 18. stor. p.n.l.

aplikácie magnetometrie - archeológia

Niekteré druhy baktérií (ktoré rozkladajú zelenú rastlinnú hmotu) produkujú feromagnetické minerály (magnetit, maghemit), ktoré sa potom koncentrujú v humuse.



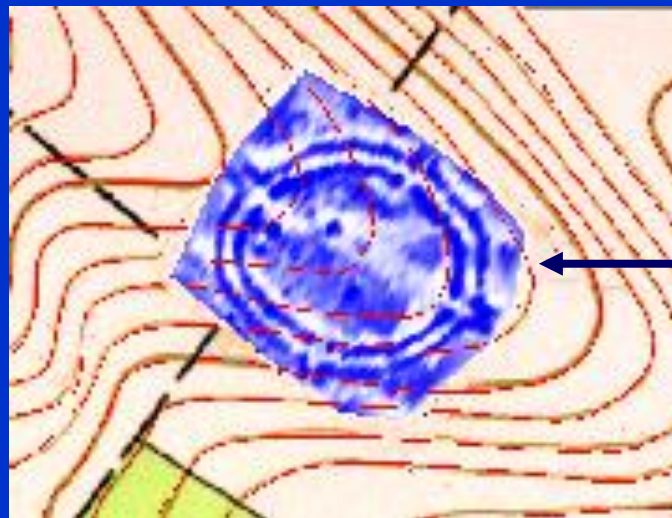
snímky z elektrónového mikroskopu

aplikácie magnetometrie - archeológia

letecká snímka – letné obdobie



letecká snímka – zimné obdobie

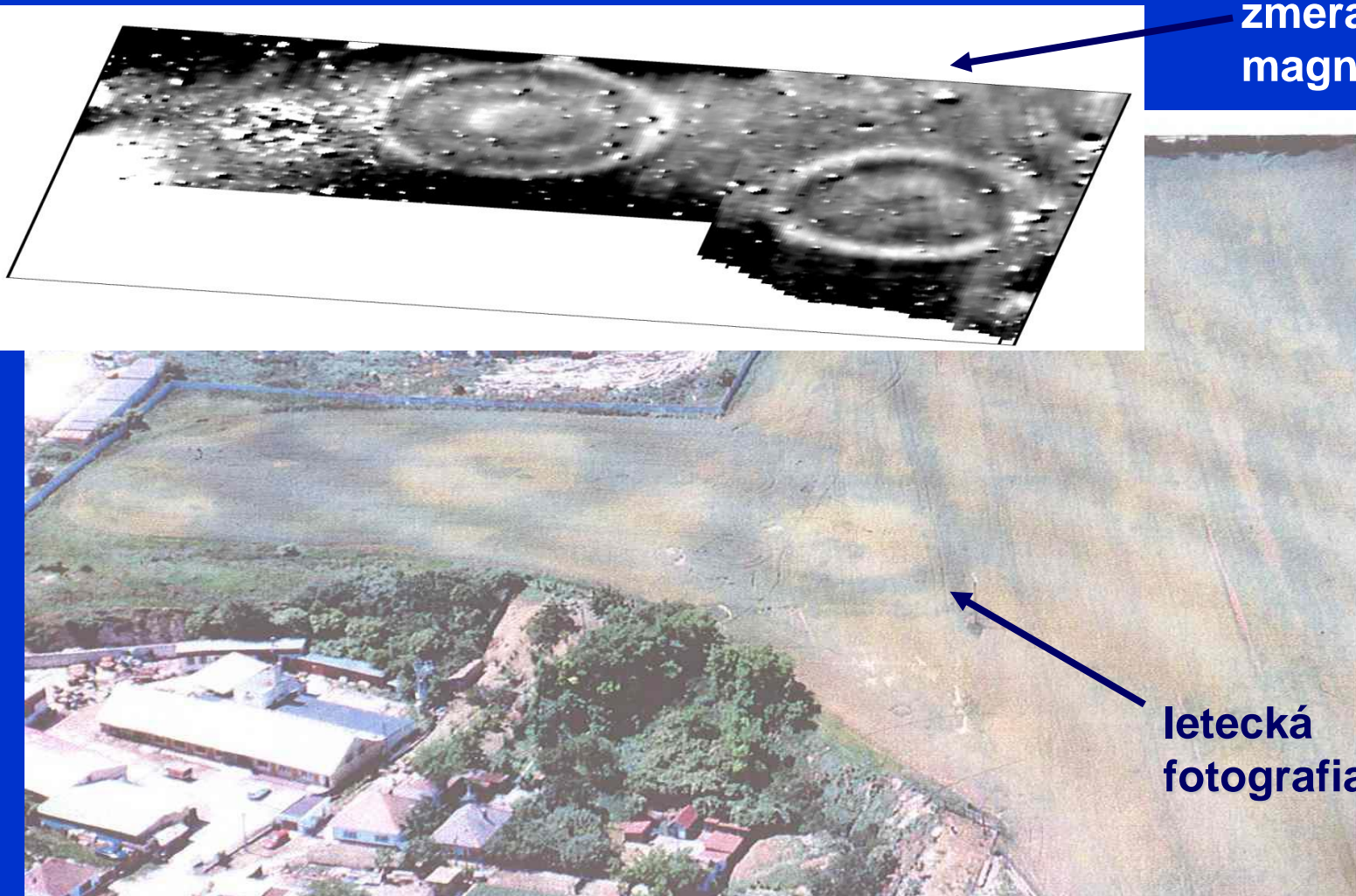


anomálne
magnetické pole

HORNÉ OTROKOVCE, okr. Hlohovec, obdobie: neolit – 35. stor. p.n.l.

Príklad – mapovanie archeologických štruktúr vďaka zvýšenej koncentrácií magnetických minerálov v humuse (tzv. rondel).

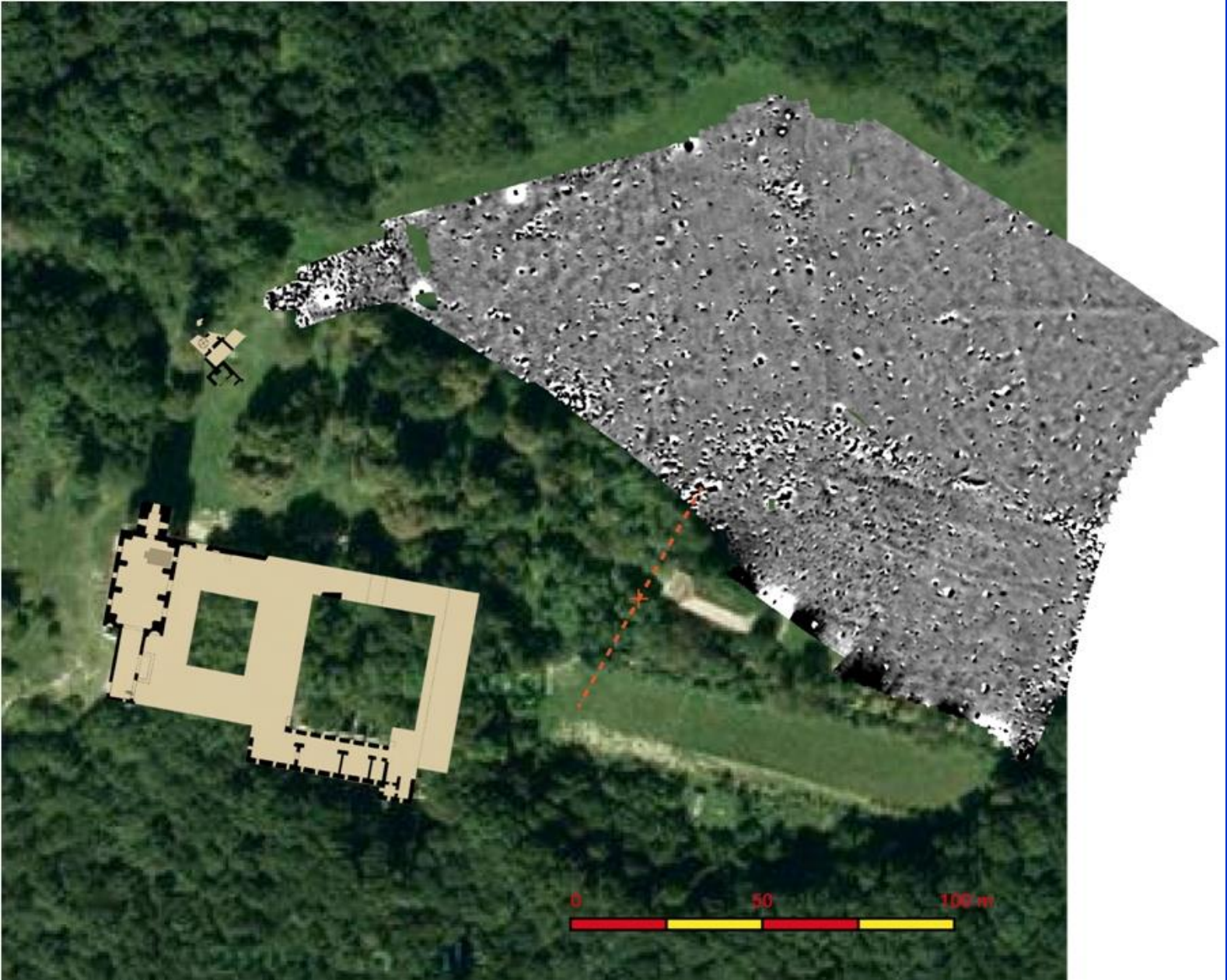
aplikácie magnetometrie - archeológia



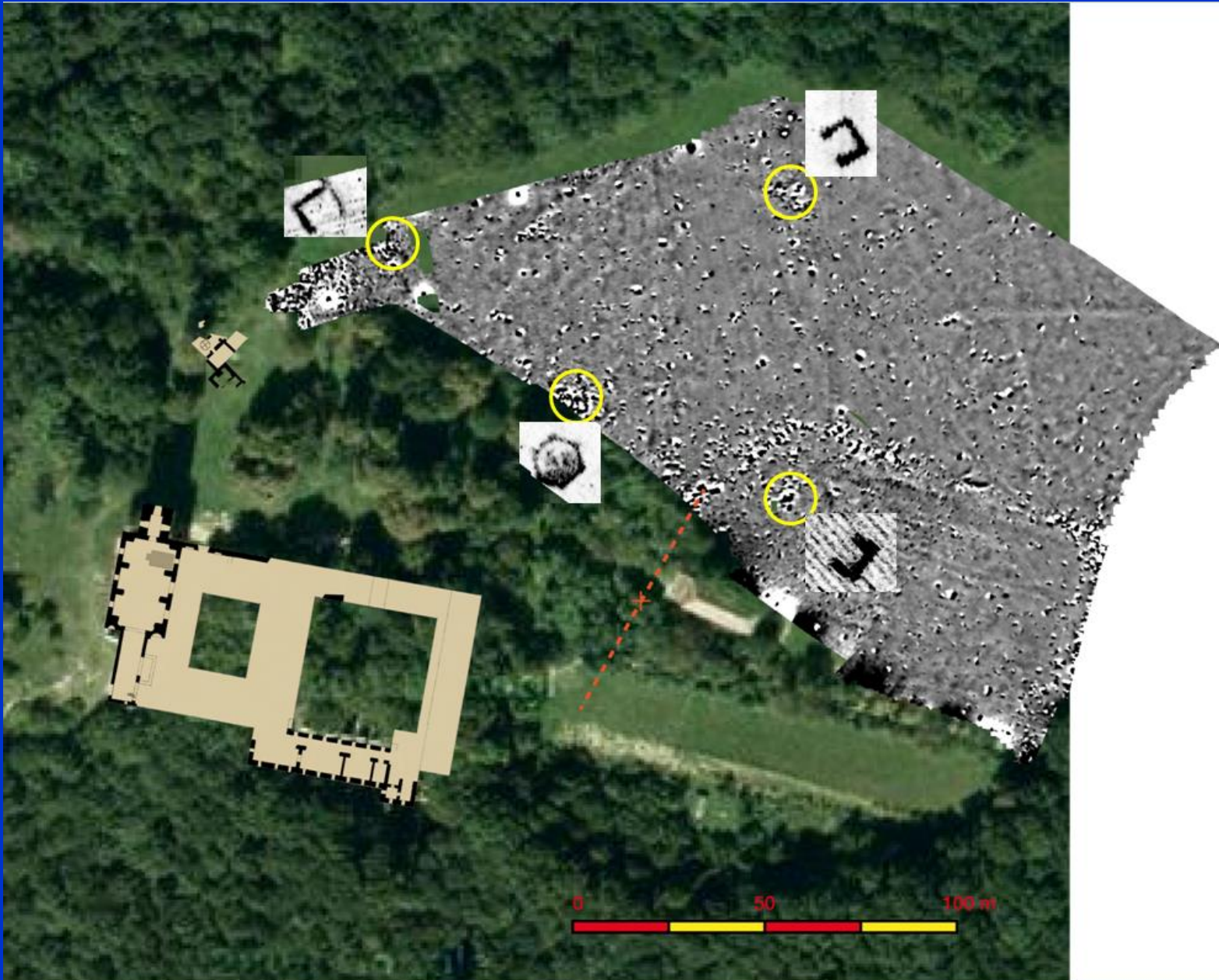
lokalita: Biely Kostol (pri Trnave), halštatské mohyly

Príklad – mapovanie archeologických štruktúr vďaka rozdielnym magnetickým vlastnostiam použitých materiálov (aj napr. vďaka zvýšenej koncentrácii magnetických minerálov v humuse).

ukážka použitia magnetometrie a radaru pri detekcii zvyškov múrov (lokalita Katarínka, JZ Slovensko)



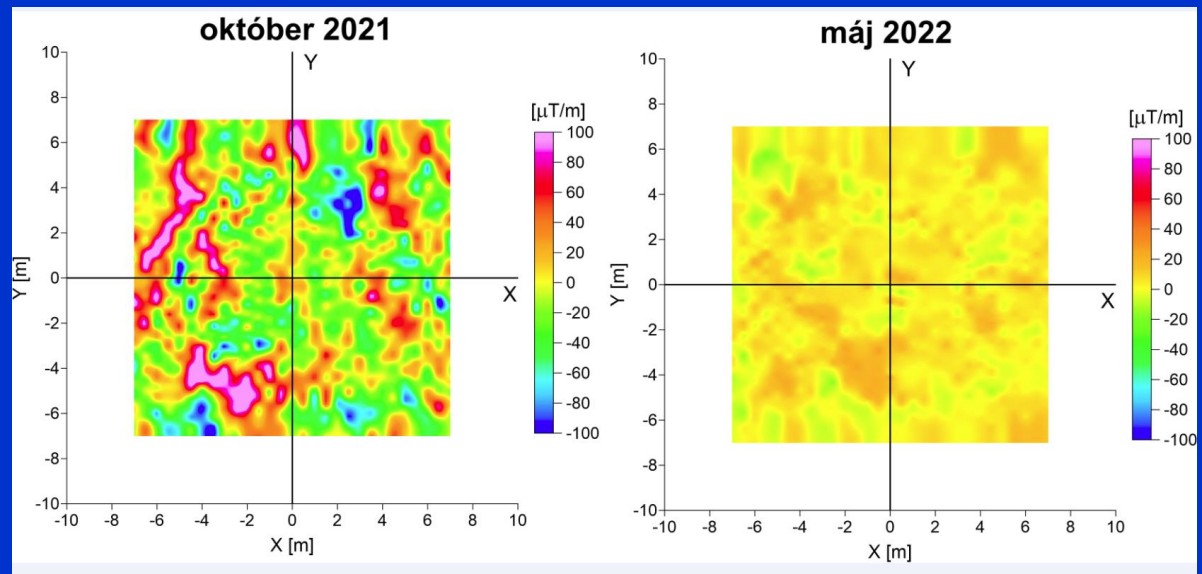
ukážka použitia magnetometrie a radaru pri detekcii zvyškov múrov (lokalita Katarínka, JZ Slovensko)



využitie magnetometrie pri skutočne praktických záležitostach... ;-)



štúdium anomálneho
magnetického poľa
na heliporte
(Národný ústav srdcových
a cievnych chorôb a.s.)



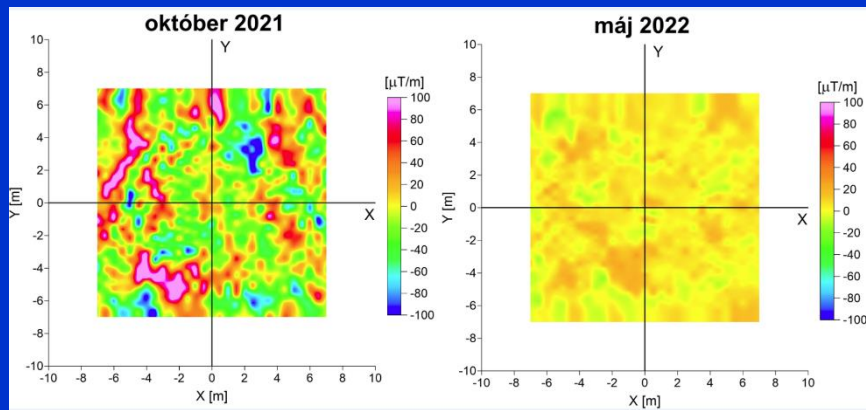
pred demagnetizáciou

po demagnetizácii

využitie magnetometrie pri skutočne praktických záležitostach... ;-)

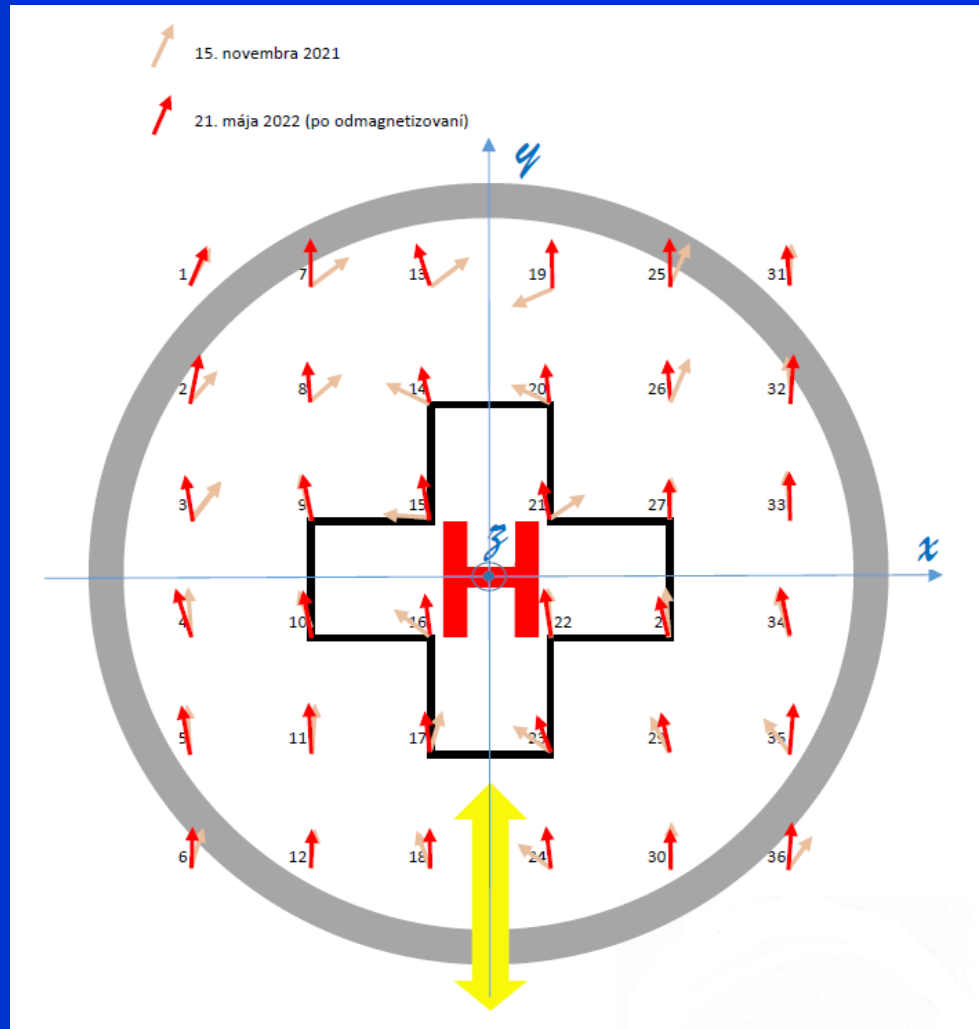


Odmagnetizovanie heliportu v stredu, 18. mája 2022



pred demagnetizáciou

po demagnetizácii



aplikovaná magnetometria - zhrnutie

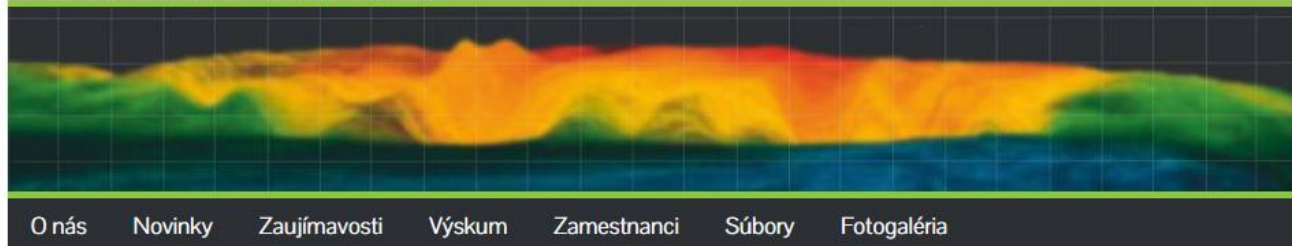
- meraná veličina: magnetická indukcia T [nT]
- prístroje: magnetometre (viacej druhov)
- interpretujeme anomálne hodnoty ΔT
- interpretácia (kvalitatívna, kvantitatívna),
nie vždy jednoznačná – treba dpolňujúce
informácie (geol./matfyz.)
- možnosti použitia: všade tam, kde ide o detekciu
a interpretáciu objektov z rozdielnou
magnetickou susceptibilitou

ZÁKLADY APLIKOVANEJ GRAVIMETRIE

www.kaeg.sk

Prírodovedecká fakulta Univerzity Komenského v Bratislave

Katedra inžinierskej geológie, hydrogeológie a aplikovanej geofyziky
Oddelenie aplikovanej geofyziky



O nás Novinky Zaujímavosti Výskum Zamestnanci Súbory Fotogaléria

Návod na štúdium: Ako sa stať aplikovaným geofyzikom

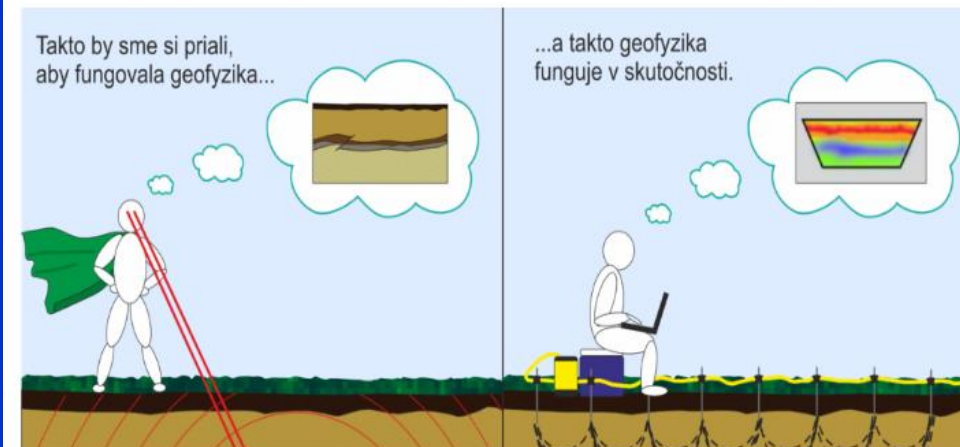
Napsal Kaeg-Doktorand, 12. septembra 2023 v Štúdium

Milí študenti,

ak máte pocit, že je pre vás nová akreditácia chaotická – netrápte sa. Pripravili sme pre vás návod, ako a čo treba robiť počas bakalárskeho štúdia, ak sa chcete stať aplikovanými geofyzikmi:

[ako_byt_geofyzikom](#)

[Stiahnut](#)



Slovenčina

Angličtina

Hľadať

zadajte výraz...

Rýchla navigácia

[Fotogaléria](#)

[Novinky](#)

[O nás](#)

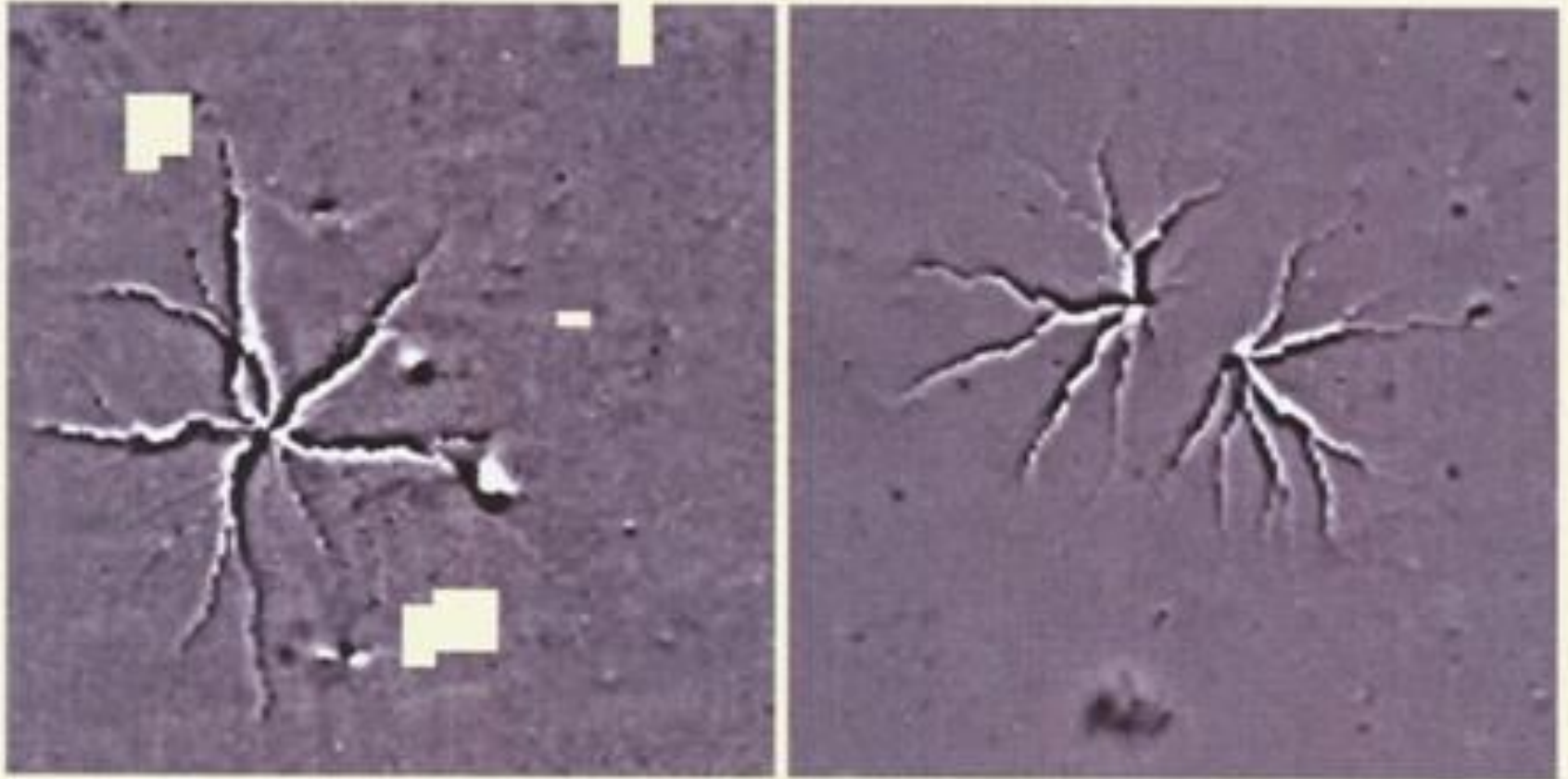
[Súbory](#)

- Iné
- Učebné texty

[Výskum](#)

- Projekty APVV

- Project APVV-



50 x 50 m

96 nT

príklady anomálií po údere blesku (izotermálna remanentná magnetizácia)

Ďakujem za pozornosť!